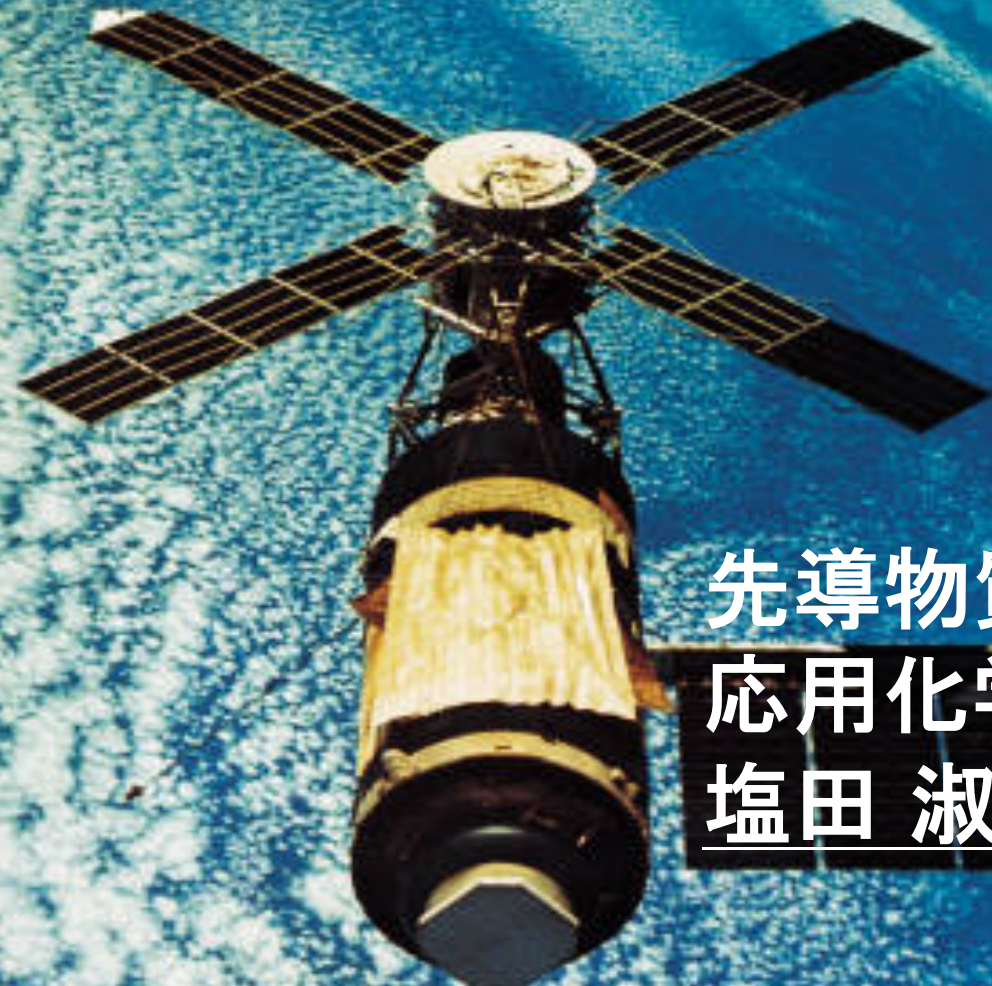


グリーンケミストリー
平成2 年 月25日

「大気化学と地球環境」



先導物質化学研究所
応用化学(機能)
塩田 淑仁・吉澤 一成

天然ガス（メタン）を利用した エネルギー戦略

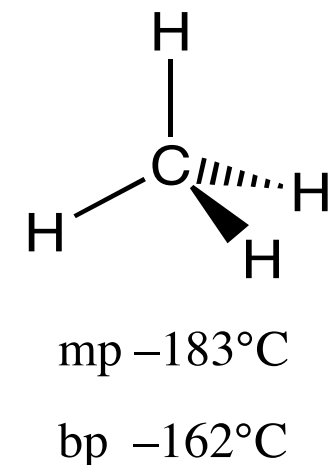
塩田淑仁
先導物質化学研究所
応用化学（機能）

レポート：メタンについて
“資源 エネルギー 用途 環境など”

メタン (methane) は最も単純な構造の炭化水素で、1個の炭素原子に4個の水素原子が結合した分子である。化学式は CH_4 。和名は沼氣(しょうき)。分子は炭素を中心に位置する正四面体構造をとる。

表 11-2 現在のグローバルな CH_4 の収支

	速度, $\text{Tg CH}_4 \text{ yr}^{-1}$ 最も確からしい値と不確定性の範囲	
自然の発生源	160	(75-290)
湿地	115	(55-150)
シロアリ	20	(10-50)
その他	25	(10-90)
人為的な発生源	375	(210-550)
天然ガス	40	(25-50)
家畜 (反芻動物)	85	(65-100)
水田	60	(20-100)
その他	190	(100-300)
消失源	515	(430-600)
対流圏 OH による酸化	445	(360-530)
成層圏	40	(30-50)
土壤	30	(15-45)
大気中への蓄積	37	(35-40)



メタンの製造、採掘方法

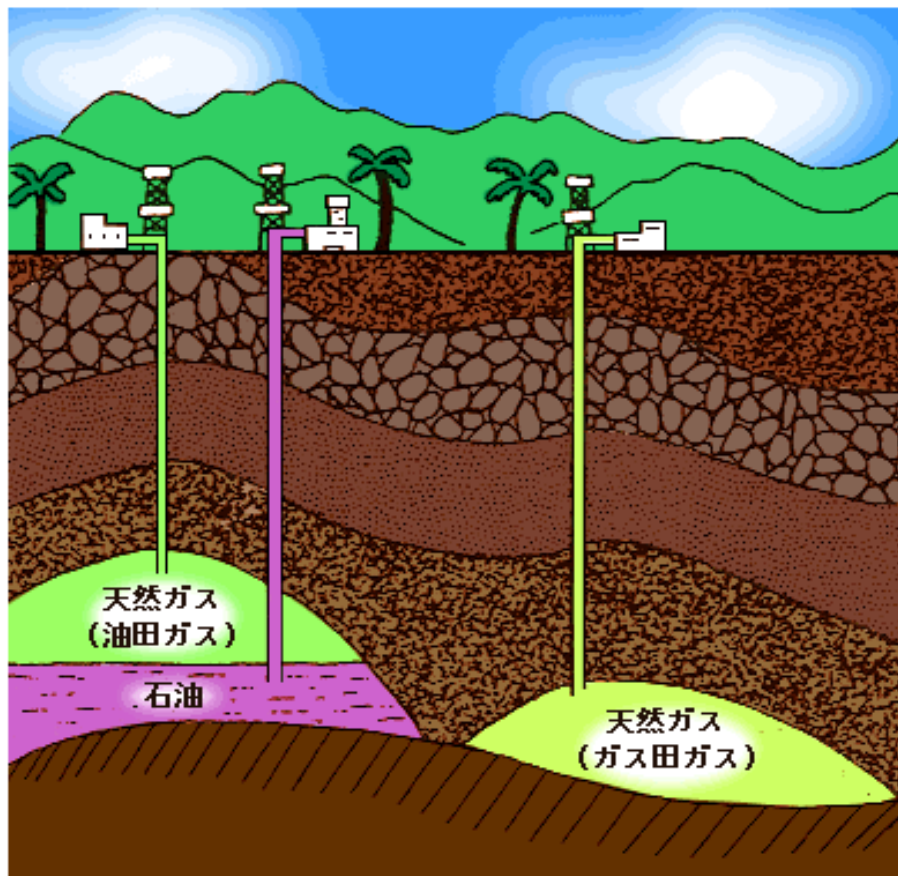
1. 天然ガス(ガス田) ○
2. 発酵(メタン菌) △
3. シェールガス(頁岩の隙間) ○
4. メタンハイドレート(海底) △

メタンの利用方法

1. 燃焼 ○
2. 水素製造 ○
燃料電池、NH₃ の原料
3. 化学原料 △
C-H結合変換
メタノール → 石油代替物

天然ガスとは、

油田地帯、ガス田地帯から産出するメタンを主成分とする可燃性ガス

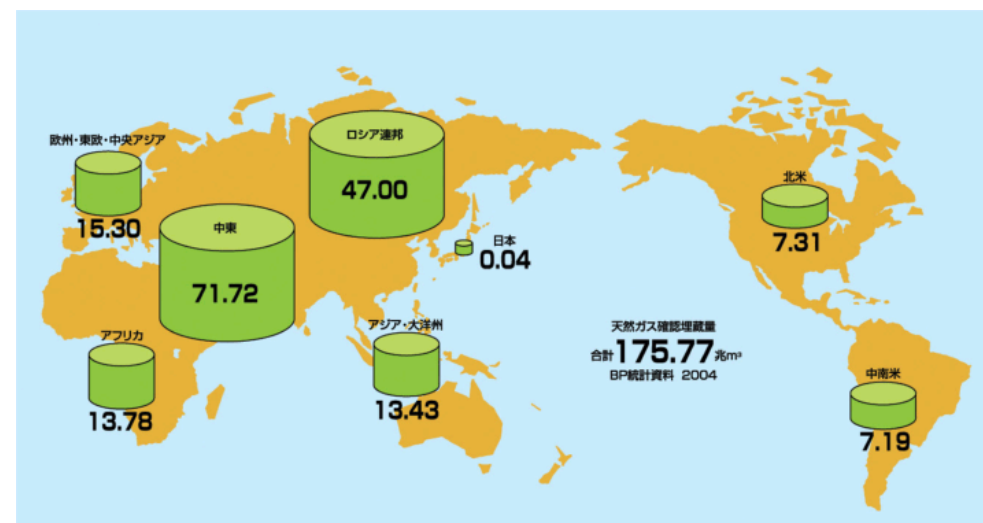


クリーンなエネルギー

硫黄分、その他の不純物を含まないため、燃やしてもSOxやススを発生しない

豊富に存在

世界各地に存在し、可採年数は67年と石油の41年に比べて約30年長くなっています。



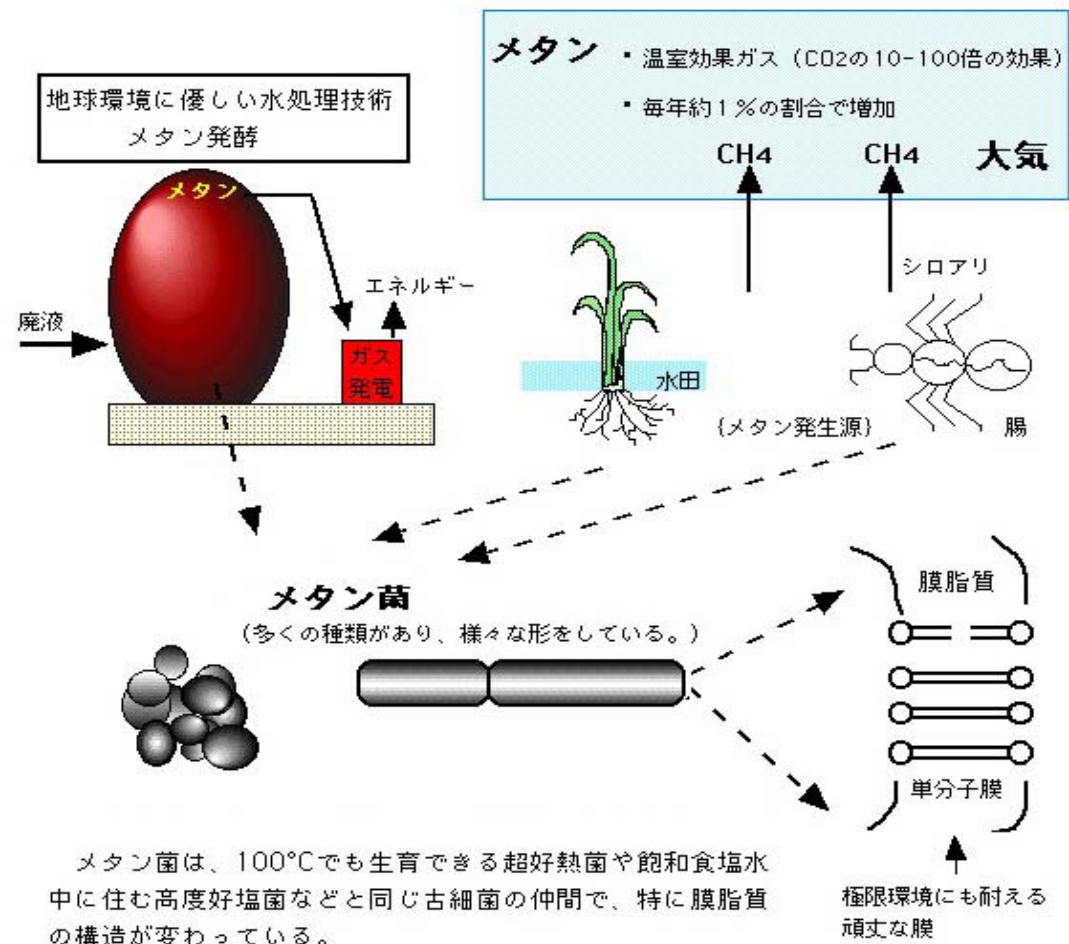
メタン菌によるメタンの生成

嫌気性条件下における水素と二酸化炭素を用いたメタン生成



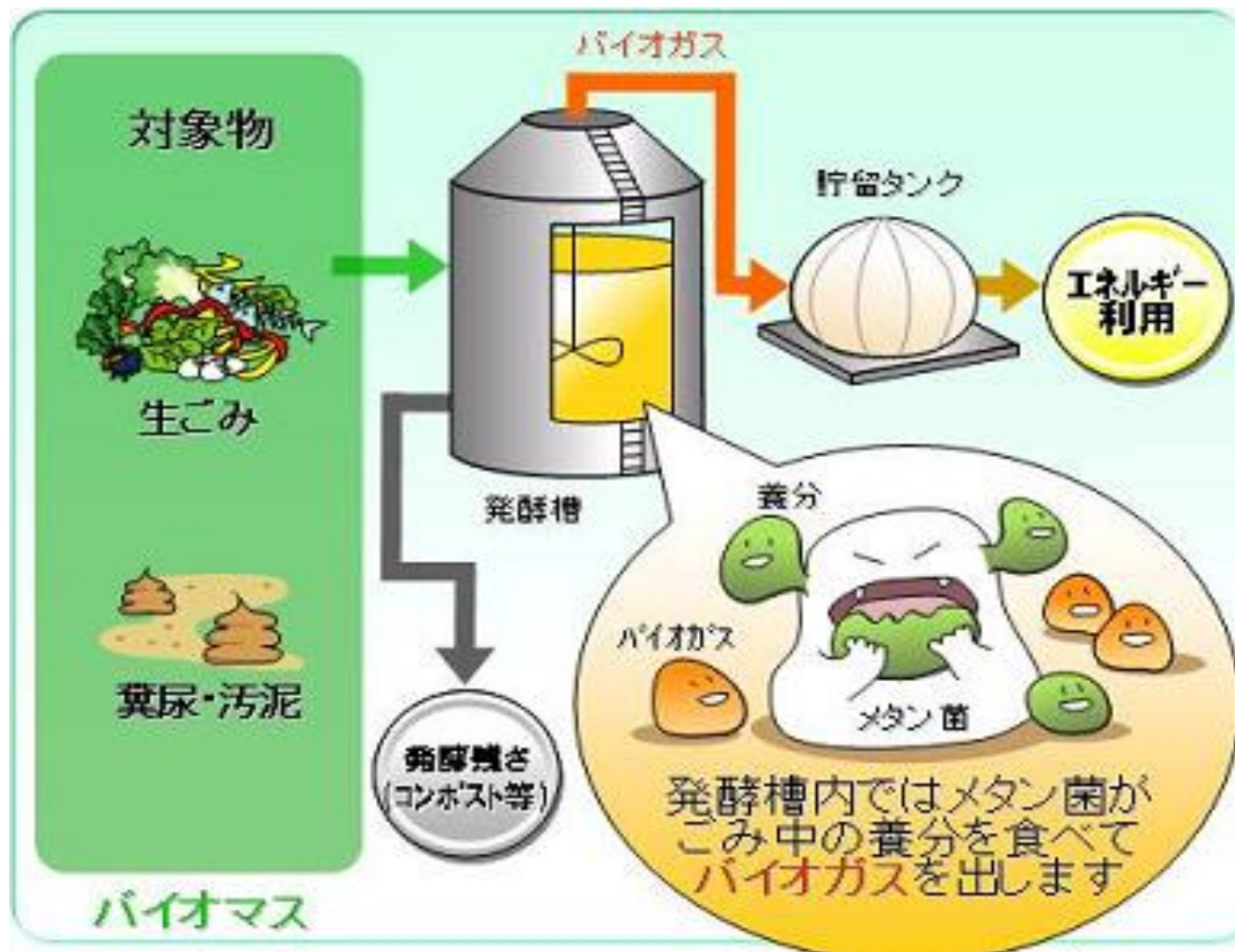
汚泥・水田・沼や哺乳類の消化管などに分布し、代謝産物としてメタンを発生（メタン発酵）する嫌気性の古細菌

- ・人体に棲むメタン菌
- ・水田のメタン菌



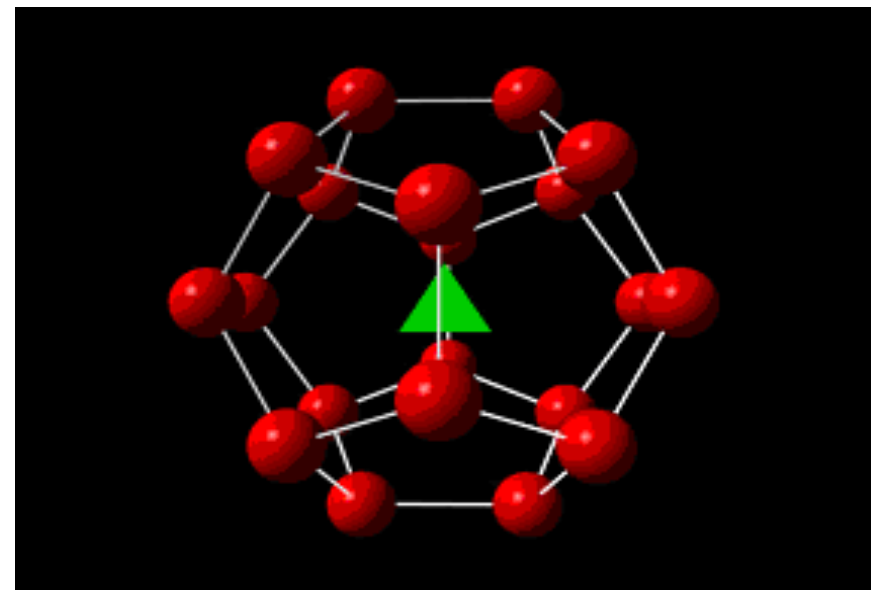
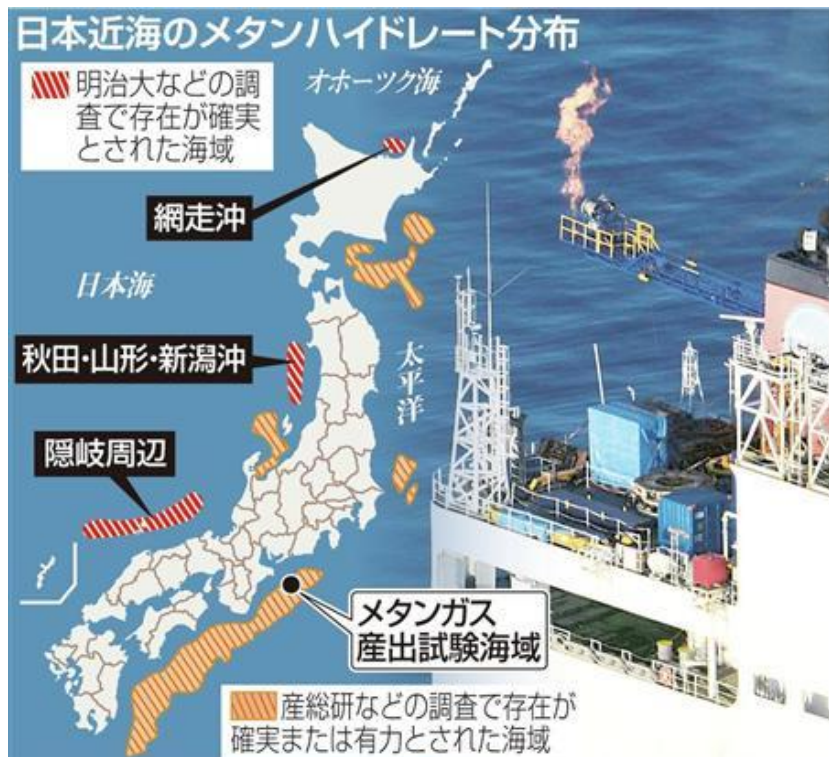
メタン発酵システムの概要

メタン菌によるメタンの生成



北海道でのメタン発酵実証プラント

メタンハイドレート



日本近海におけるメタンハイドレートの分布

ガス相当量7.35兆m³日本が消費する天然ガスの約96年分に相当

メタンハイドレートからのガス分離作業を開始した 地球深部探査船「ちきゅう」



政府によるメタンハイドレート開発の経緯

平成

主な取り組み（場所は全て愛知県沖）

13～14年度 埋蔵量を調査

15年度 基礎的な掘削調査

24年2～3月 第1回生産試験の事前掘削

25年1～3月 第1回生産試験

～27年度 第2回生産試験

28～30年度 事業化調査、環境影響評価

31年度～ 商業化



シェールガス革命

日本経済新聞

[FT]米シェールガス革命で世界の石炭価格が下落

2012/3/13 14:00 | 日本経済新聞 電子版

(2012年3月13日付 英フィナンシャル・タイムズ紙)

米国の発電量のうち石炭火力発電の占める割合が約35年ぶりの低水準に落ち込んでいる。「シェールガス革命」と呼ばれる新型天然ガスの開発・生産拡大が進み、電力各社がそれに乗じて安値のガスを積極的に利用しているためだ。

■石炭発電の比率が40%を割り込む

変化の影響は米国外にも及んでいる。米国の石炭採掘会社は、輸出に回す石炭の比率を増やすざるを得ない。このためおよそ年1000億ドル規模の燃料炭市場が世界的に供給過剰に陥り、価格が下落している。

こうした石炭離れの傾向は重要な意味をもつ。中国が肉薄しているとはいえ、米国は世界最大の電力市場である。また石炭火力発電は、地球温暖化の原因となる二酸化炭素(CO₂)の最大排出源の一つとされている。

米エネルギー省の最新データによると、石炭は依然として米国の発電燃料で最大を占めるが、昨年12月にそのシェアは1978年3月以来初めて40%を割り込んだ。石炭発電のピークだった85年には60%近くに達していた。

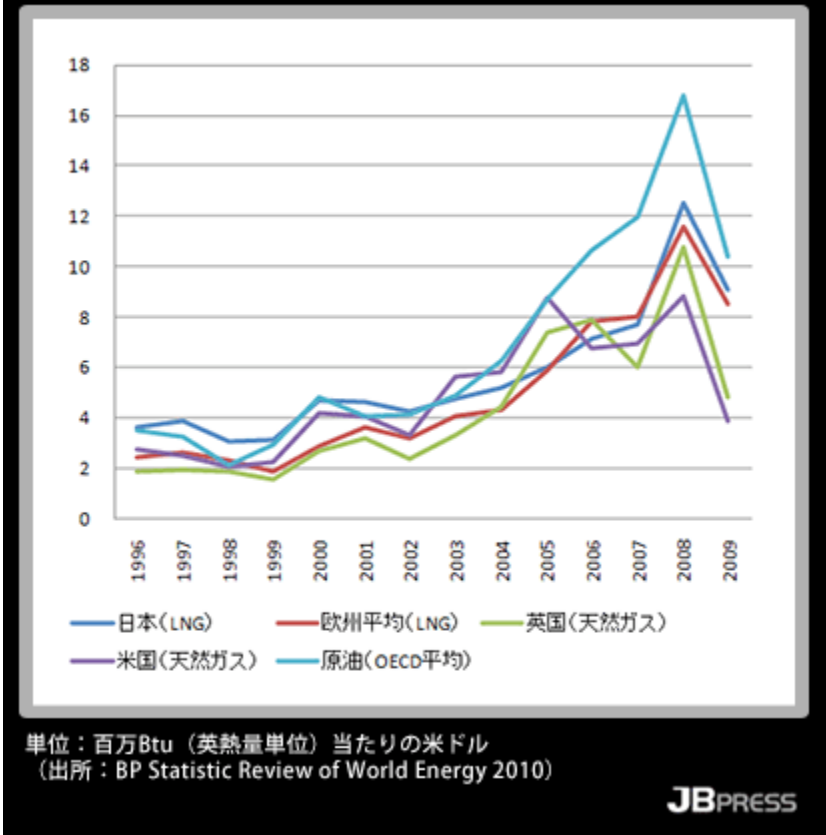
米政府によると「今冬の天然ガス価格の大幅な下落を受け、オハイオ州やペンシルベニア州などの発電事業者は、天然ガス火力発電を一気に拡大した」という。

さらに「旧式の石炭火力発電所より、天然ガス複合火力発電所のほうがずっと効率が良い」とも指摘した。



米国では安価のガスを発電に利用する例が増えている
(1月26日、ラスベガスで天然ガスと米国のエネルギーについて演説するオバマ米大統領) —ロイター

■図3 LNG・天然ガス(気体)・原油価格の動向



単位：百万BTU（英熱量単位）当たりの米ドル
(出所：BP Statistical Review of World Energy 2010)

JB PRESS

シェールガス革命

シェールガス

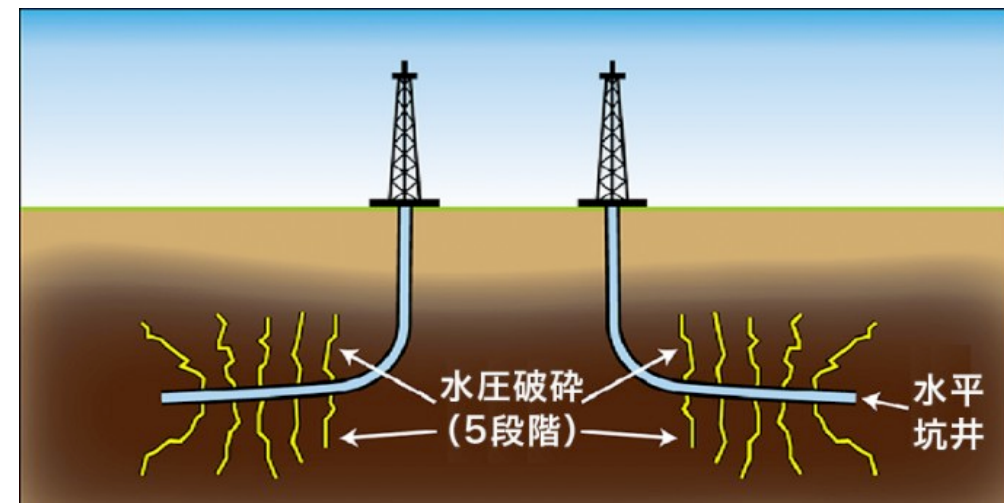


従来の原油・天然ガスと異なる地層や岩石から採掘する「非在来型資源」の一種。砂より小さい粒や、粘土で構成する固い泥岩「頁岩（けつがん＝シェール）」に含まれる。

地下の微細な割れ目に閉じ込められており、岩石内を流れにくい。成分はメタンが90%以上で、燃料としては従来の天然ガスと同じ。2000年代に米国で採算が合うコストで取り出す技術が確立し、開発ブームが起きた。

シェールガス以前に開発が進んだ非在来型ガスは、1980年代に生産が本格化した固い砂岩にあるタイトサンドガスや、1990年代から掘削が加速した石炭層に含まれるコールベッドメタンがある。

岩石の微細な割れ目に存在



新興国を中心にエネルギー需要の増加が続いている。かねて開発が難しいとされたのが2000年以降、生産が飛躍的に拡大した。背景には3つの技術革新がある。日本では原子力発電所事故を受けて、温暖化ガスの排出がない天然ガスの供給が強まる。生産革命がもたらされた新エネルギーに迫った。

地下0~2,260mほどに貯岩(けつがん)・シェールガスがある。ここに地中の天然ガスが長い時間をかけてたまつていて、岩盤にしつかり、封じられたシェールガスだ。ガスの流れやすさは地中の構造場所にある從来のガス田の約1万分の1以下といどり。地中から取り出されば「コト」が見合わない長い手の届かない存在だ。

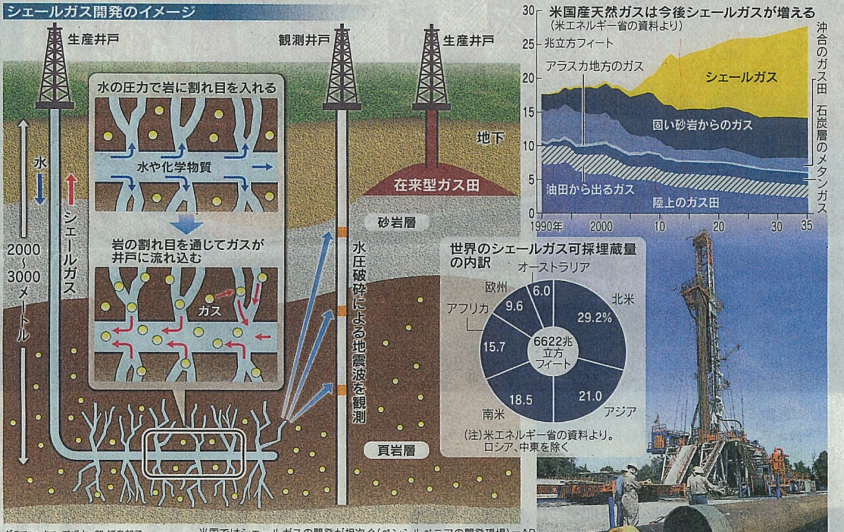
どうして2000年位に入つて長い眠りから覚める米国では2000年に4,800億立方メートル方(約28兆t)だった生産量は、10年で8,000億立方メートル(約4兆t)に急増した。天然ガス生産全体の割合を超えてついでに拡大。米国は2009年は依然生産量で世界トップに躍り出た。

新たなエネルギーの開発は確立して生産コストが大きくなかった。従来のガス田で生産する。石油天然ガス・金属鉱物資源機構(OGEMO)によれば、2つの技術で水平坑井(こうせい)の技術によって生産コストが抑えられ、水平坑井で1坑あたりの生産量を3~5倍に増やせるよ。

これまで斜めに掘り進める水平坑井で、従来のガス田で生産する。石油天然ガス・金属鉱物資源機構(OGEMO)によれば、2つの技術で水平坑井(こうせい)の技術によって生産コストが抑えられ、水平坑井で1坑あたりの生産量を3~5倍に増やせるよ。

資源開拓は井戸に水を注入して、岩石を壊す。粘土を含む岩石から採掘する。砂岩層のメタガスがもたらされた新エネルギーに迫った。

シェールガス 3つの革新



グラフィックス デザイン部 福島朗子
米国ではシェールガスの開発が相次ぐ(ペンシルベニアの開発現場)=AP

進む増産、課題は水質汚染

ひび割れをつくる「水圧破碎」などを試めて頭髪を揉んでいたが、ガスが噴出する。枝分かれしたび割れには砂状物質を抜いて世界のトップに躍り出た。

新たなエネルギーの開発は確立して生産コストが大きくなかった。従来のガス田で生産する。石油天然ガス・金属鉱物資源機構(OGEMO)によれば、2つの技術で水平坑井(こうせい)の技術によって生産コストが抑えられ、水平坑井で1坑あたりの生産量を3~5倍に増やせるよ。

資源開拓は井戸に水を注入して、岩石を壊す。粘土を含む岩石から採掘する。砂岩層のメタガスがもたらされた新エネルギーに迫った。

資源開拓は井戸に水を注入して、岩石を壊す。粘土を含む岩石から採掘する。砂岩層のメタガスがもたらされた新エネルギーに迫った。

資源開拓は井戸に水を注入して、岩石を壊す。粘土を含む岩石から採掘する。砂岩層のメタガスがもたらされた新エネルギーに迫った。

3つの革新技術

水平抗井

地下2000~3000mを水平に掘り進める

水圧破碎

水の圧力でひび割れを作る

マイクロサイスマック 地震波の観測技術

問題点 水質汚染 地震の増大

キー

カード

シェールガス

岩石の微細な割れ目に存在

を続ける

3つの技術のうち、水平

坑井と水圧破碎は90年以前

から使われてきた。本当の

技術革新が3つの技術を

多く組み立てる工夫だ。

井井と水圧破碎は90年以前

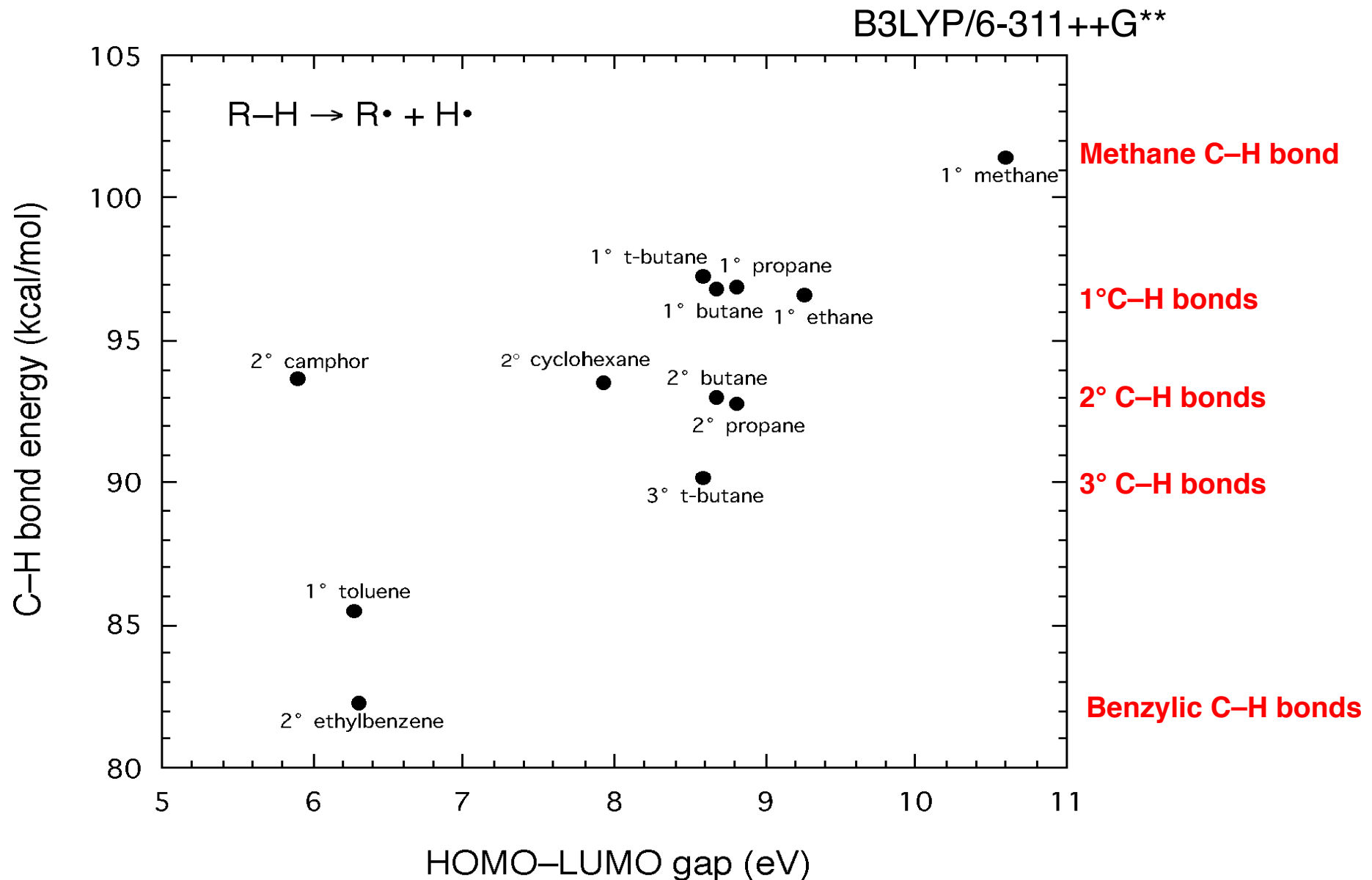
から使われてきた。本当の

技術革新が3つの技術を

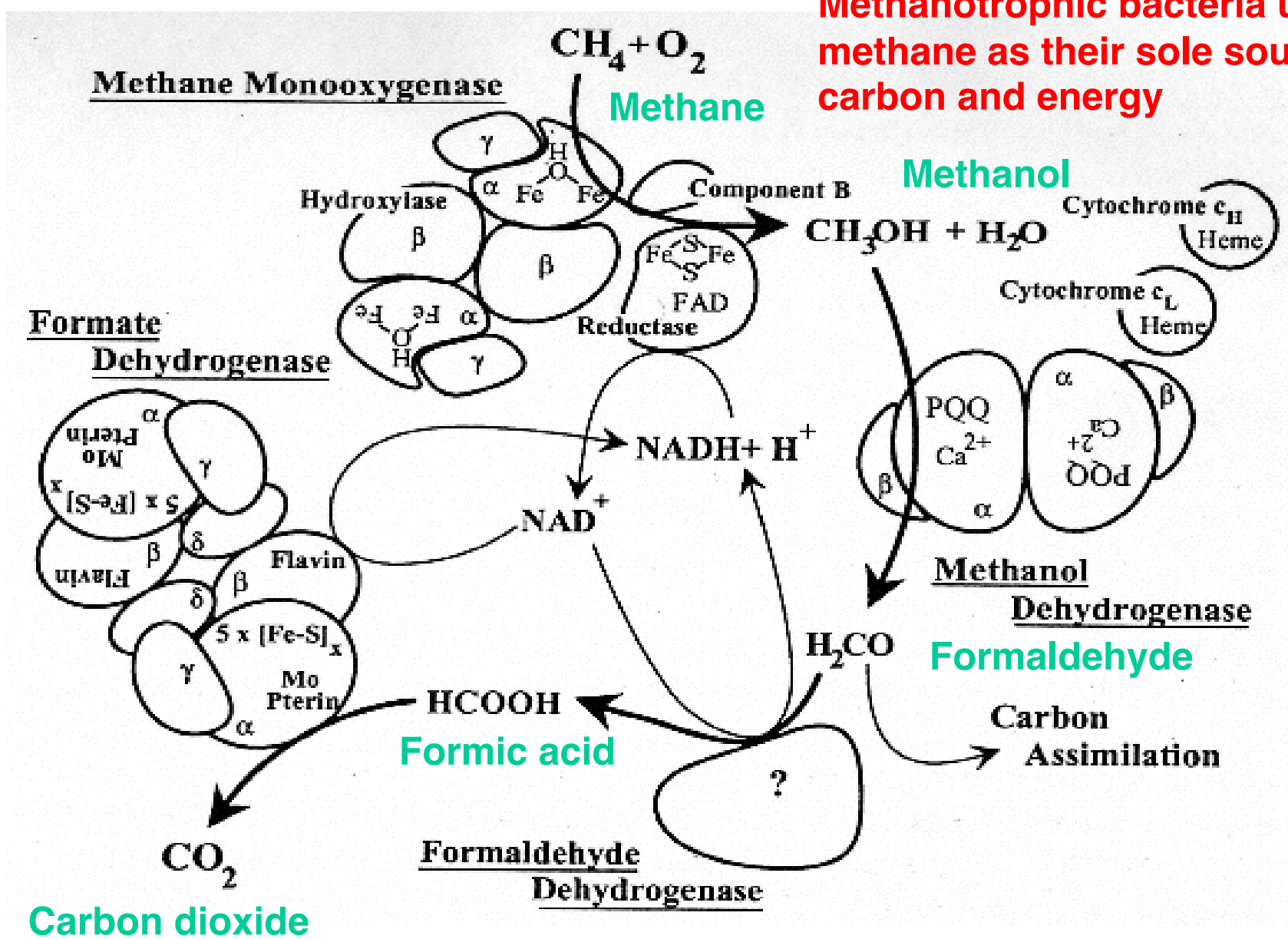
多く組み立てる工夫だ。

井井と水

アルカンのC–H 結合のエネルギー



バクテリアによるメタンの酸化過程



J. D. Lipscomb, *Annu. Rev. Microbiol.* **48**, 371 (1994).

触媒化学の10大テーマ



- Low-temperature oxidation of SO_2 to SO_3
- Selective oxidation of methane to methanol
- Decomposition of NOx to molecular nitrogen and oxygen
- Selective production of ethylene, propylene, and styrene from alkanes
- Oxidative coupling of methanol to ethylene
- Direct oxidation of benzene to phenol using molecular oxygen
- Direct synthesis of hydrogen peroxide from hydrogen and oxygen
- Epoxidation of ethylene by molecular oxygen
- Direct synthesis of aromatic amines via aromatics and ammonia
- Anti-Markovnikov addition of water or ammonia to olefines

バイオエタノールに可能性はあるか？

第3種郵便物認可

享月

二

美斤

20

〔本文全文〕
バイオエタノールに可能性はあるか？

地球温暖化対策の切り札と注目されるバイオ燃料の試験販売が先月、首都圏で始まった。日本の消費者も燃料を選べる時代になるが、バイオ燃料は地球の「救世主」になるのか。環境問題の第一人者、レスター・ブラウンさんに聞いた。

▼なぜ今、バイオ燃料がブームなのですか。

「05年8月末に米国を襲ったハリケーン『カトリーナ』の影響が大きい。石油施設への被害で石油価格が上昇し、将来の安定供給や枯渇への不安が高まつた。石油の代替燃料として注目が集まつた」

▼米ブッシュ政権も普及に積極的です。

「バイオ燃料は中東への石油依存度を抑え、環境への負荷が小さい。穀物を生産する農家にも有益だ。しかし、問題はここにある。バイオ燃料は大量の穀物を消費するのだ」

「例えば、乗用車の25%（約95リットル）のタンクをバイオエタノールで満杯にするには、1人が1年間に食べる量の穀物が必要だ。08年末には米国の穀物の3割が燃料に振り向けられる見通しで、原料のトウモロコシ

ブラウンさん、バイオ燃料は「救世主」ですか？

の先物価格は昨年比で約2倍になつた。隣国メキシコでも、主食トルティーヤの原料になるトウモロコシが値上がりし、低所得者が抗議のデモを起こした」

▼低所得者にしわ寄せが行くということですか。

「食糧とエネルギーの境界線がなくなり、石油価格が穀物価格を左右するようになつた。8億人の車所有者と20億人の貧困層が同じ食糧を巡つて争う構図だ。このまま食糧価格が上がれば政治不安が起き、世界の経済発展にも影響が出るだろう」

▼バイオ燃料を使うべきでないなら、代わりにどうすればいいのですか。

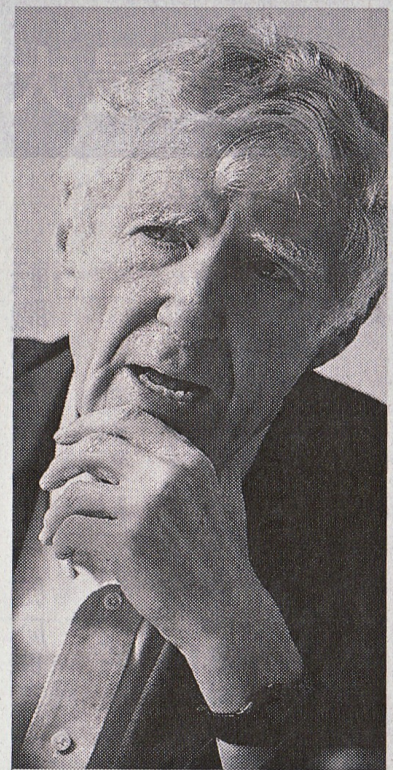
「穀物を原料とするものは、あまり使わない方がいい。日本の穀物輸入量は世界一だ。さらにバイオ燃料を使えば、穀物価格の上昇に拍車をかける。日本はハ

イブリッド車や太陽光発電の開発のリーダー役なのだから、こうした自然エネルギーの導入に力を入れるべきだ」

▼▼温暖化は来月の主要国首脳会議（G8サミット）の主要テーマですが、足並みがそろいません。

「（温室効果ガス排出削減の数値目標を求める）欧州の説得に米国が応じるかどうか分からぬ。ただ、温暖化に対する米国民の関心は非常に高まつてゐる。米国では400以上の市や州が京都議定書に準じた目標を自ら立て、街頭の白熱灯をLED（発光ダイオード）にしたり、公用車をハイブリッド車に買い替えたりしている。こうした『草の根活動』が政府を突き上げる力になる。来年の大統領選では、温暖化に関心のない候補は選ばれないだろう」（聞き手・田中美保）

バイオ燃料　トウモロコシやサトウキビなどの穀物に含まれるセスキ・アルコールで作られるアルコール。植物は二酸化炭素(CO₂)を取り込んで育つたため、理論上はバイオ燃料を燃やしても大気中のCO₂は増えない。穀物以外に廃材や稻わらに含まれるセスキ・アルコールを原料にしたものもあるが、コスト面などで課題がある。バイオ燃料の主軸バイオエタノールの05年世界生産量は4500万キロリットルで、01年比1.5倍に増加。米国とブルジルで約7割を占める。

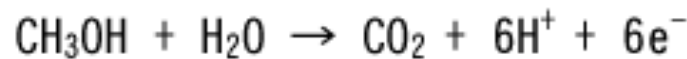


レスター・ブラウンさん
アースポリシー研究所所長
米農務省国際農業開発局長などを経て01年から現職。
87年、国連環境賞受賞。著書に「地球白書」。73歳。

ダイレクトメタノール燃料電池

DMFC
(Direct Methanol Fuel Cell)

1Ah=0.25ccMethanol



メタノール+水 (燃料)

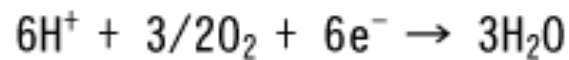
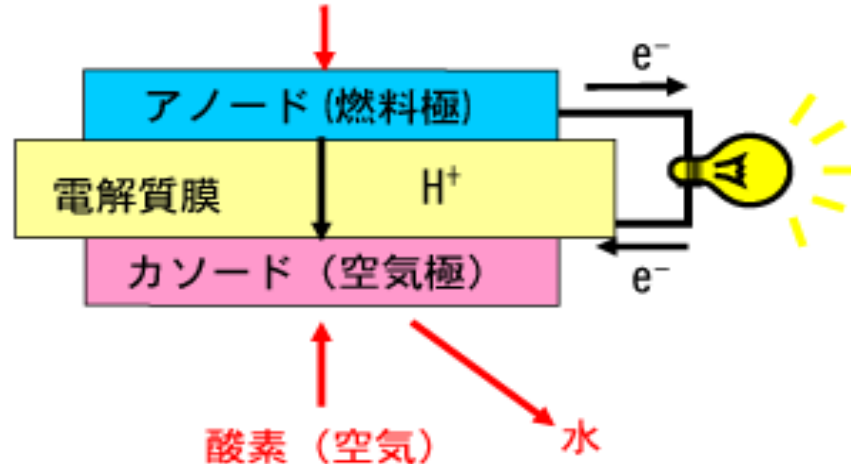


図2 DMFCの発電原理

2009年10月22日



29,800円

TOSHIBA

モバイル燃料電池「Dynario(ディナリオ)」

現在、発売中止



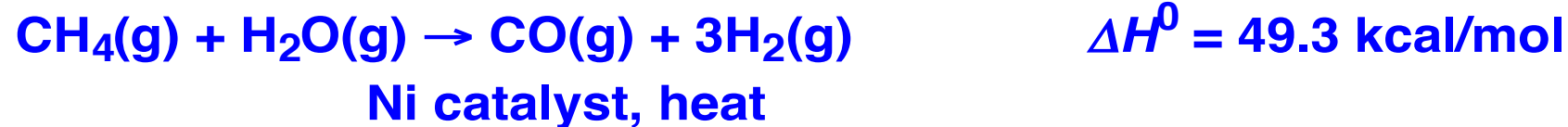
TOSHIBA

モバイル燃料電池「Dynario(ディナリオ)」と
「東芝燃料カートリッジ」(2)

Conversion of methane to methanol

(1) Commercial process for the production of methanol from natural gas

(Step 1)



(Step 2)



(2) Direct conversion of methane to methanol

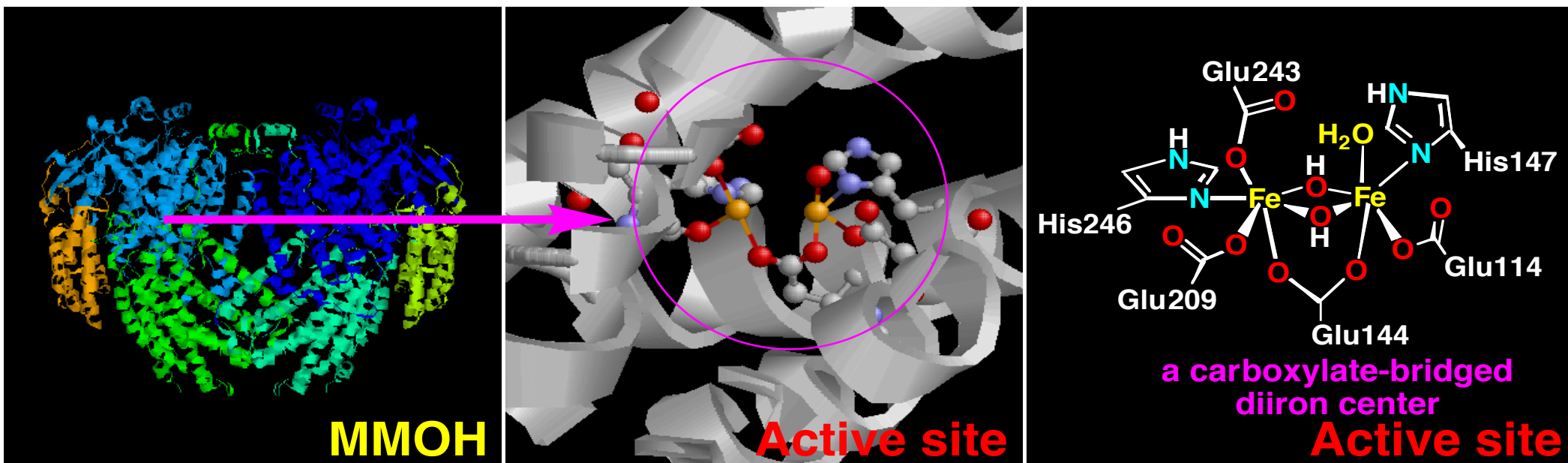


- Enzymatic alkane hydroxylations by methane monooxygenase (MMO)
- Gas–phase methane–methanol conversion by transition-metal oxide ions, MnO^+ , FeO^+ , CoO^+

可溶性メタンモノオキシゲナーゼ (sMMO)

Methanotrophic bacteria

(*Methylococcus capsulatus* (Bath) and *Methylosinus trichosporium* (OB3b))



メタンモノオキシゲナーゼ (MMO)



- *Methylococcus capsulatus* (Bath)
- *Methylosinus trichosporium* OB3b

Cytoplasmic ("soluble") MMO

Hydroxylase (251 K) containing diiron centers that have direct reactivity to methane

Reductase (38.6 K) containing Fe_2S_2 cluster and FAD

Coupling protein (15.5 K)

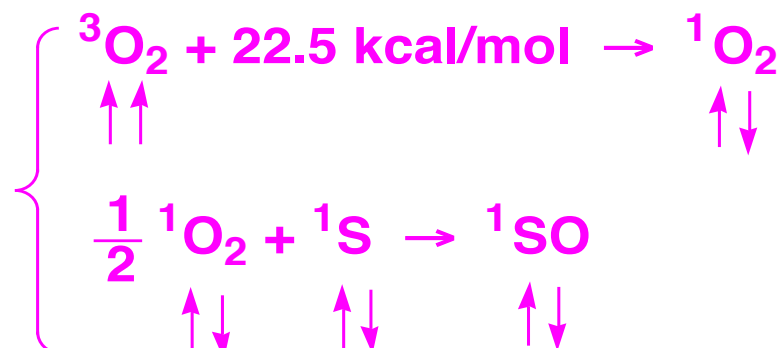
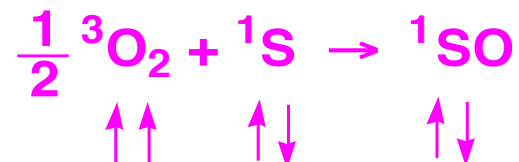
Membrane-bound ("particulate") MMO

Copper-containing proteins

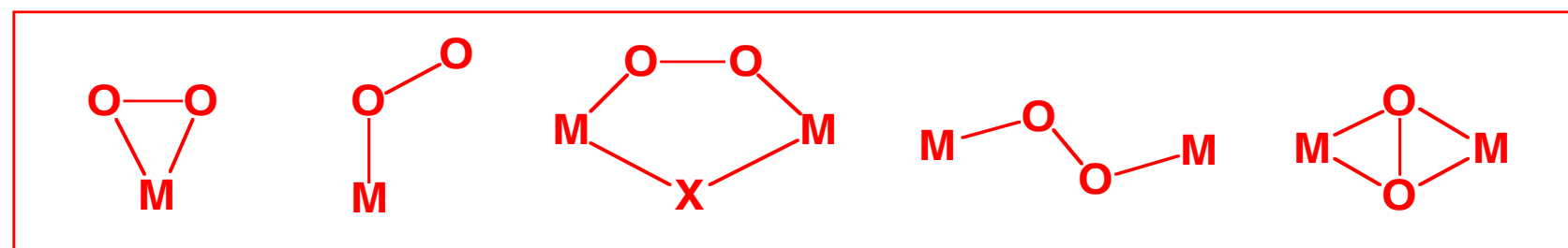
Role of transition metals in dioxygen activation

The principal kinetic barrier to direct reaction of dioxygen with an organic substrate arises from the fact that the ground state of the dioxygen molecule is triplet.

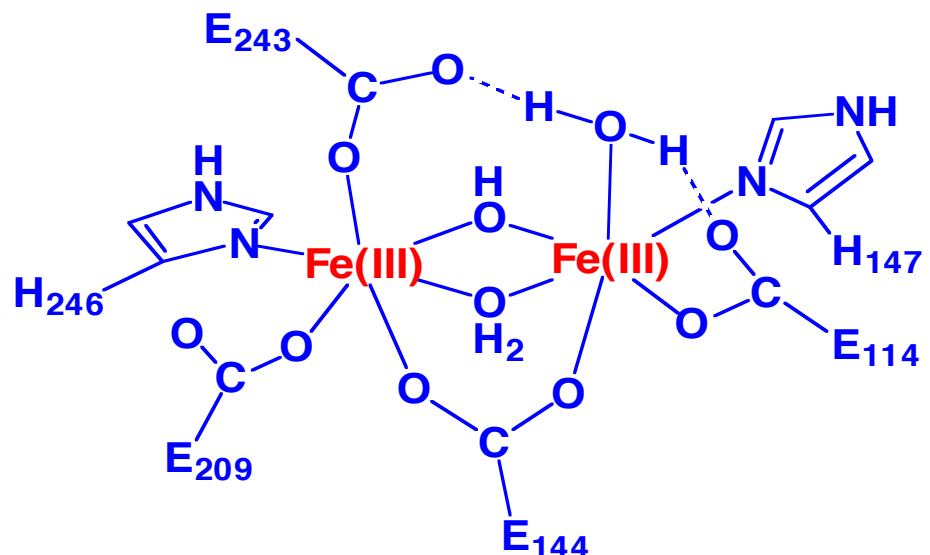
Spin-forbidden reaction



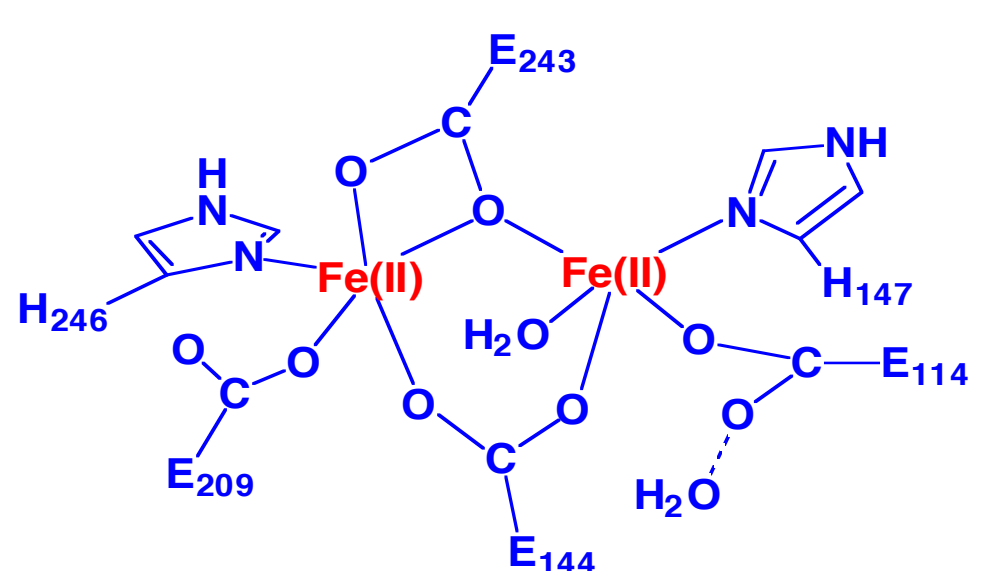
Transition metals play an important role in the activation of dioxygen for biochemical reaction with a substrate.



可溶性メタンモノオキシゲナーゼの活性サイト構造



MMOH_{ox}—*M. capsulatus* (-160°C)



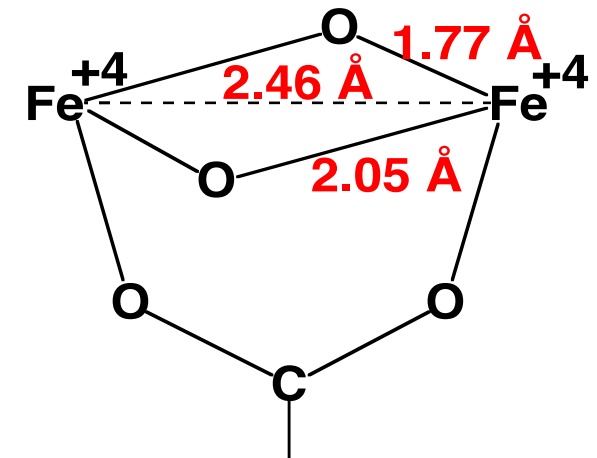
MMOH_{red}—*M. capsulatus* (-160°C)

A. C. Rosenzweig, P. Nordlund, P. M. Takahara, C. A. Frederick,
and S. J. Lippard, *Chem. Biol.*, **2**, 409 (1995).

可溶性メタンモノオキシゲナーゼの活性構造

Structural data from Mössbauer and EXAFS measurements of intermediate Q that has a direct reactivity to substrate methane

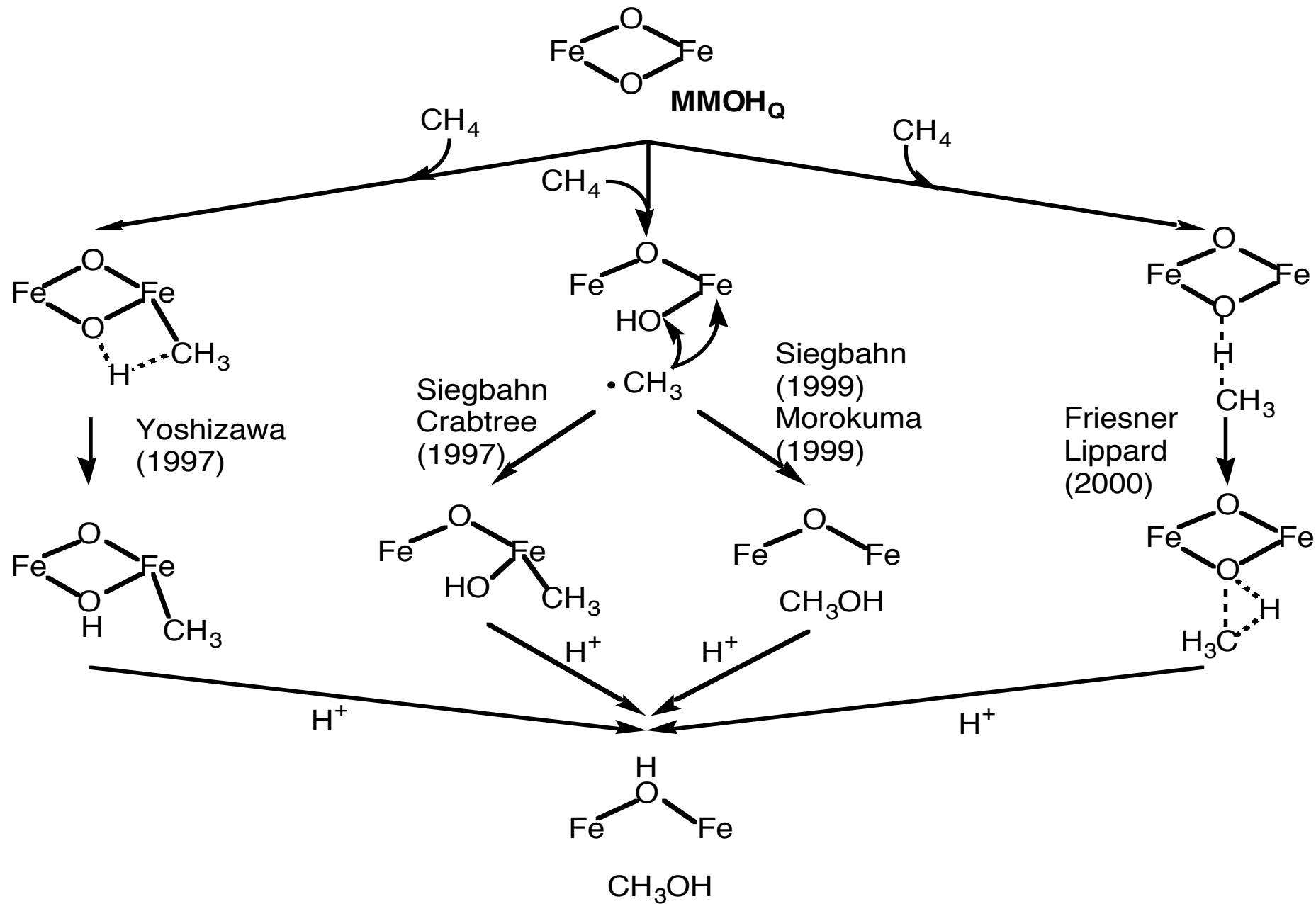
- A pair of short Fe–O bonds of 1.77 Å
- A pair of long Fe–O bonds of 2.05 Å
- Unusually short Fe–Fe distance of 2.46 Å
- 4.5 O/N per Fe



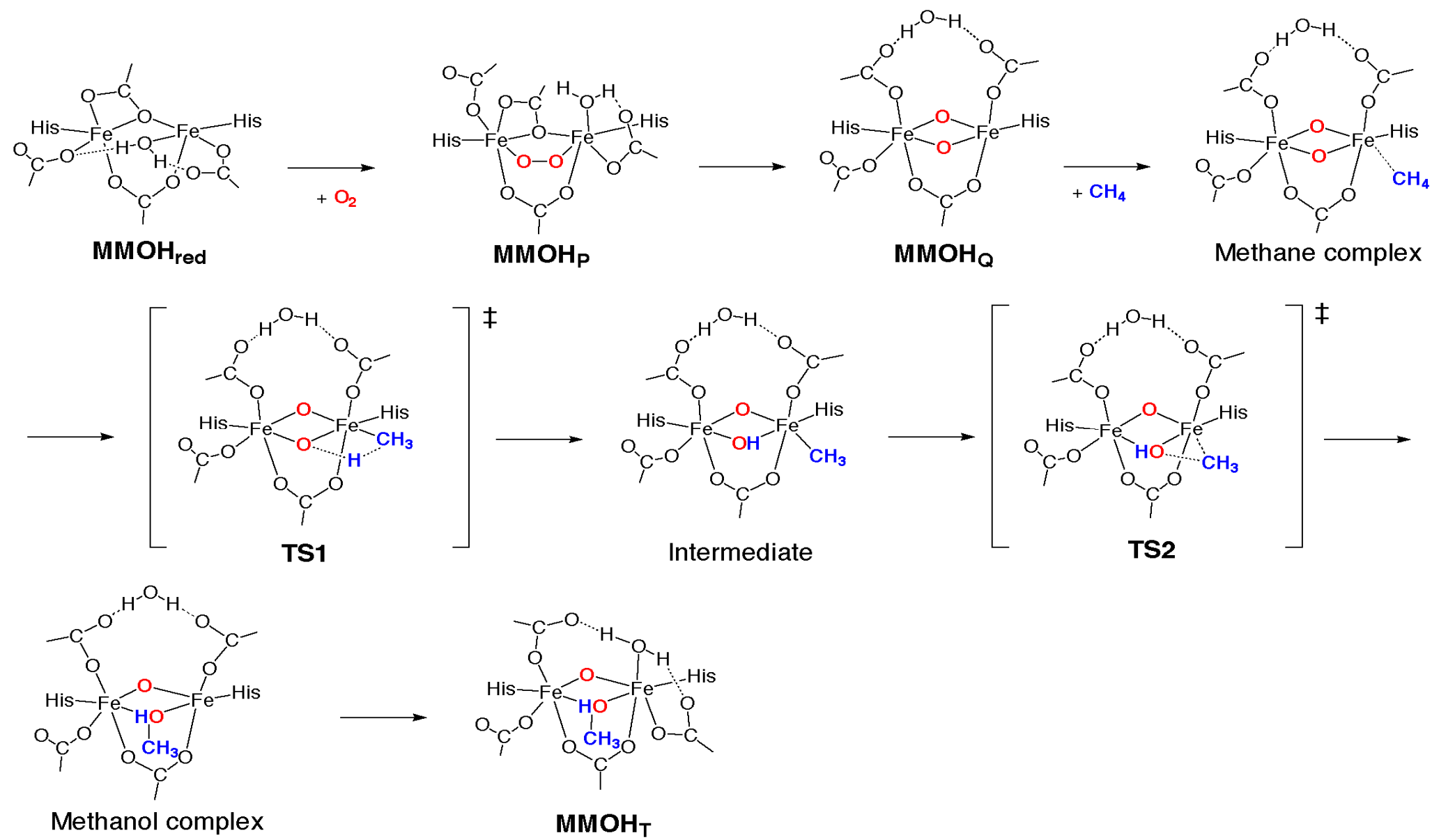
Bis(μ -oxo) Fe_2 structure

L. Shu, J. C. Nesheim, K. Kauffmann, E. Münck, J. D. Lipscomb, L. Que, Jr. *Science*, **275**, 515 (1997).

可溶性メタンモノオキシゲナーゼによるメタンの水酸化機構

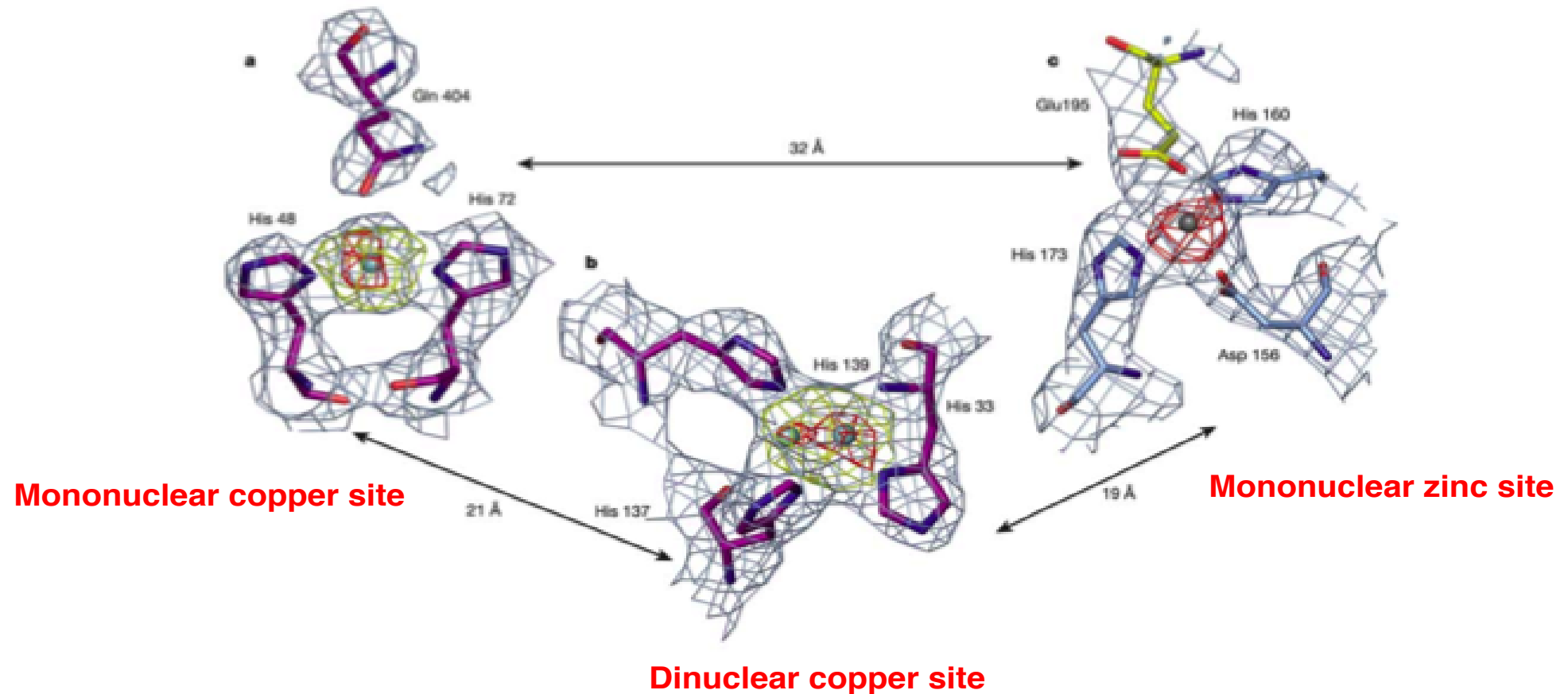


可溶性メタンモノオキシゲナーゼによるメタンの水酸化機構(吉澤)



K. Yoshizawa, T. Yumura, *Chem. Eur. J.*, **9**, 2347 (2003);

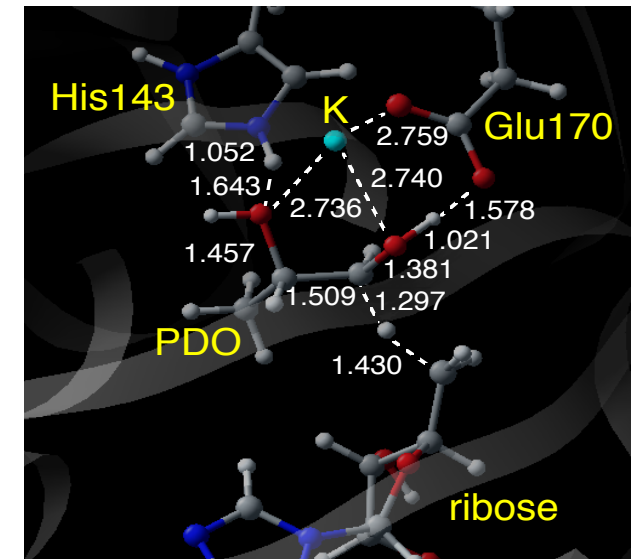
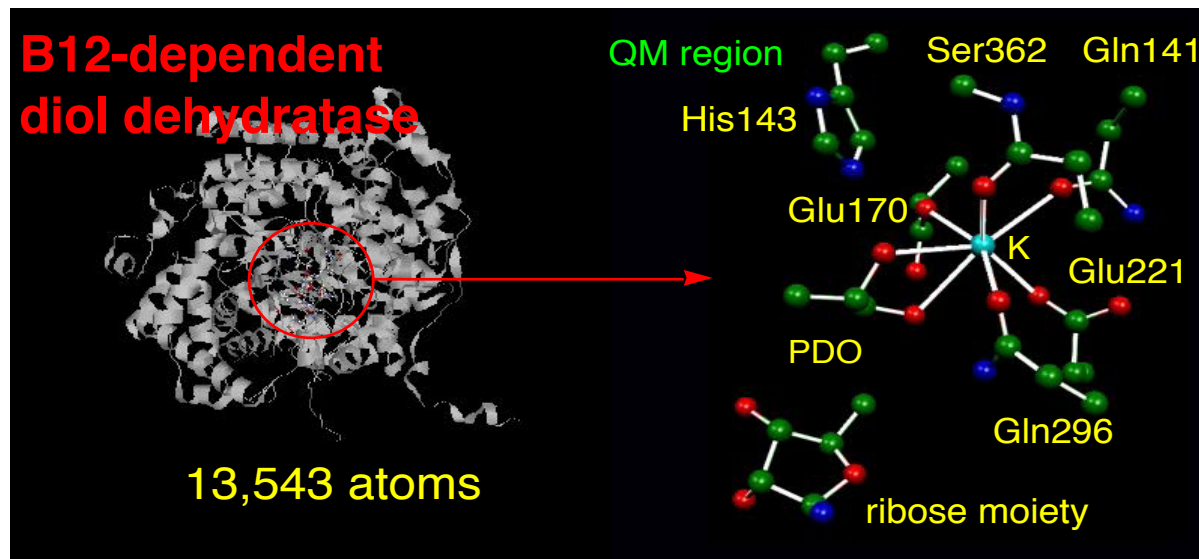
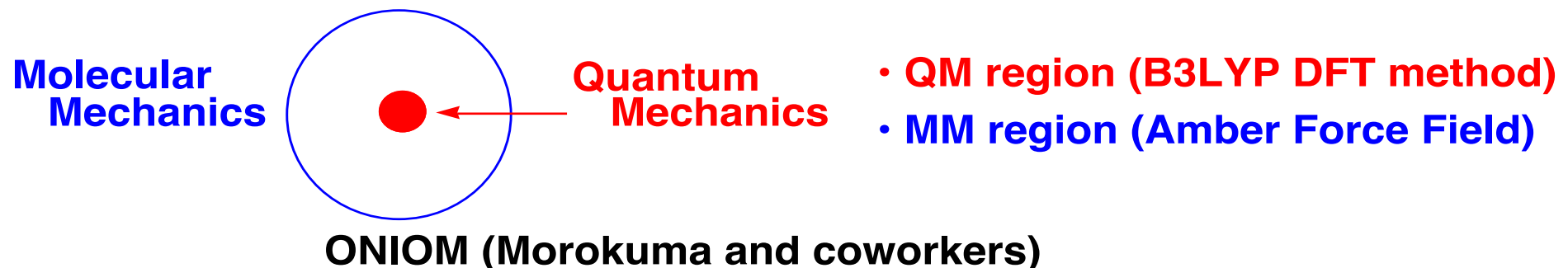
膜結合型メタンモノオキシゲナーゼのX線構造



pMMO X-ray structure: There are three metal centers per protomer in the crystal structure. Two of these are modeled as mononuclear and dinuclear copper species. The third metal center is occupied by zinc in the crystal. The zinc is derived from crystallization buffer and it is probably occupied by another metal ion *in vivo* such as copper or iron.

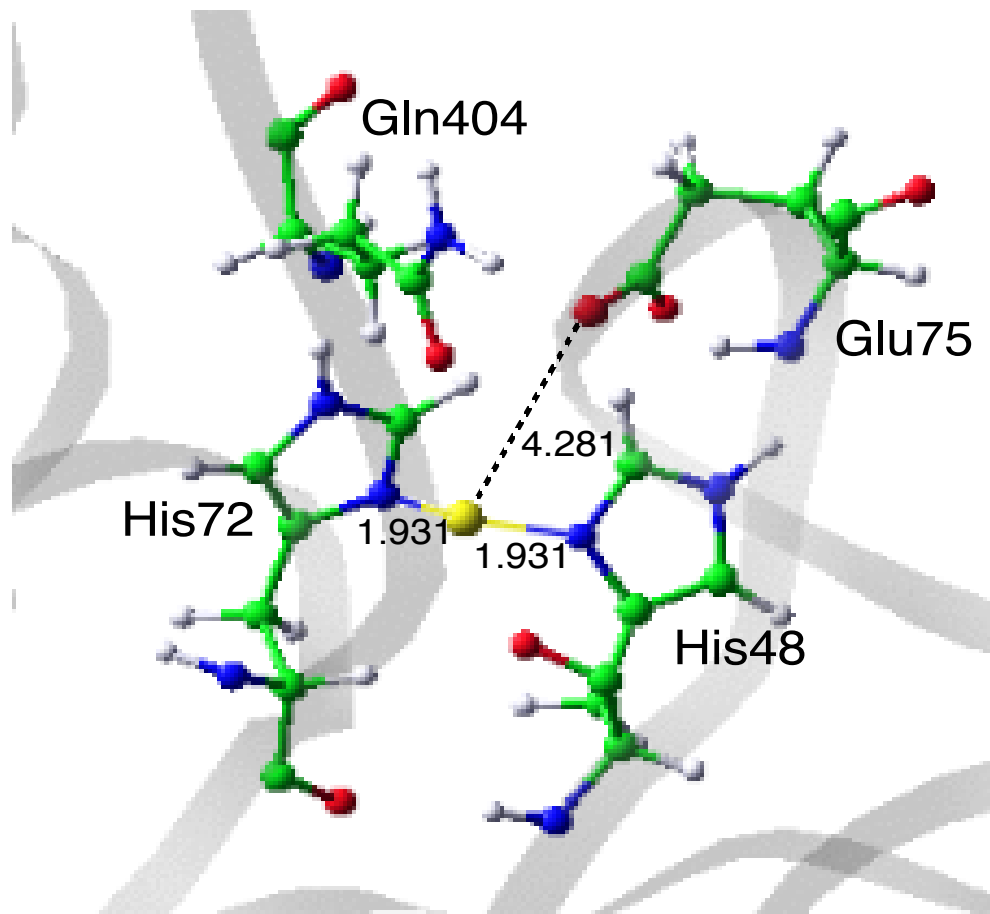
ONIOM-QM/MM approach to large molecular systems

- QM = Quantum Mechanics
- MM = Molecular Mechanics

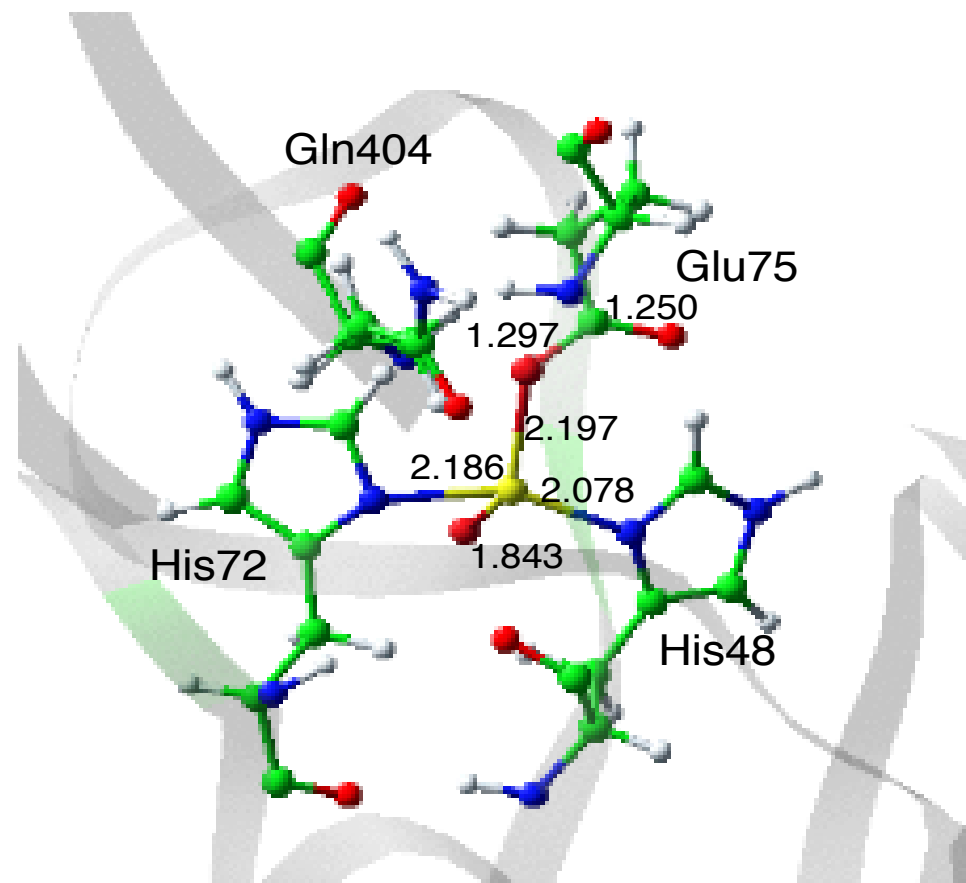


量子化学計算から求めた膜結合型メタンモノオキシゲナーゼの銅单核活性サイトの構造

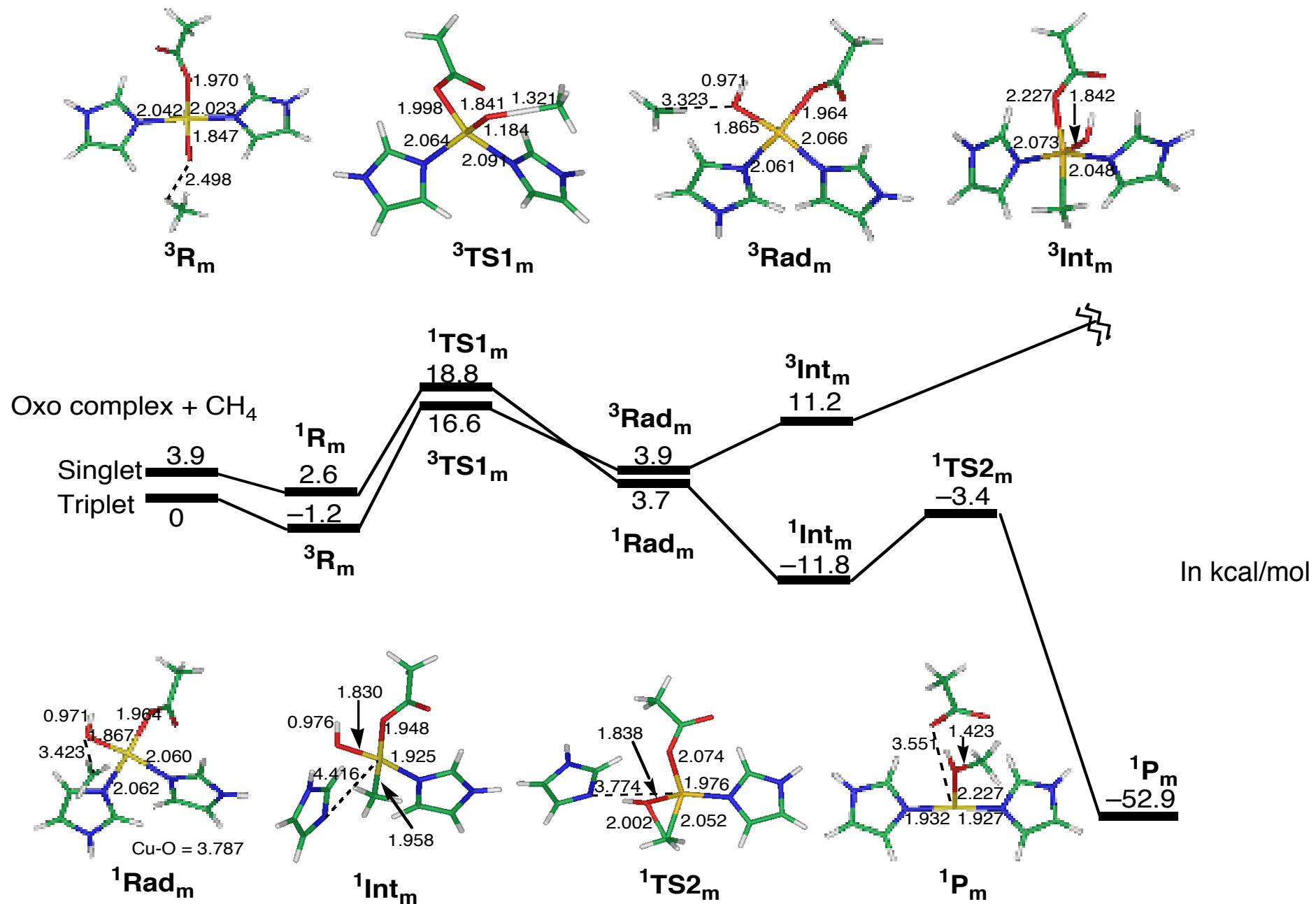
Resting state



Cu^{III}-oxo species

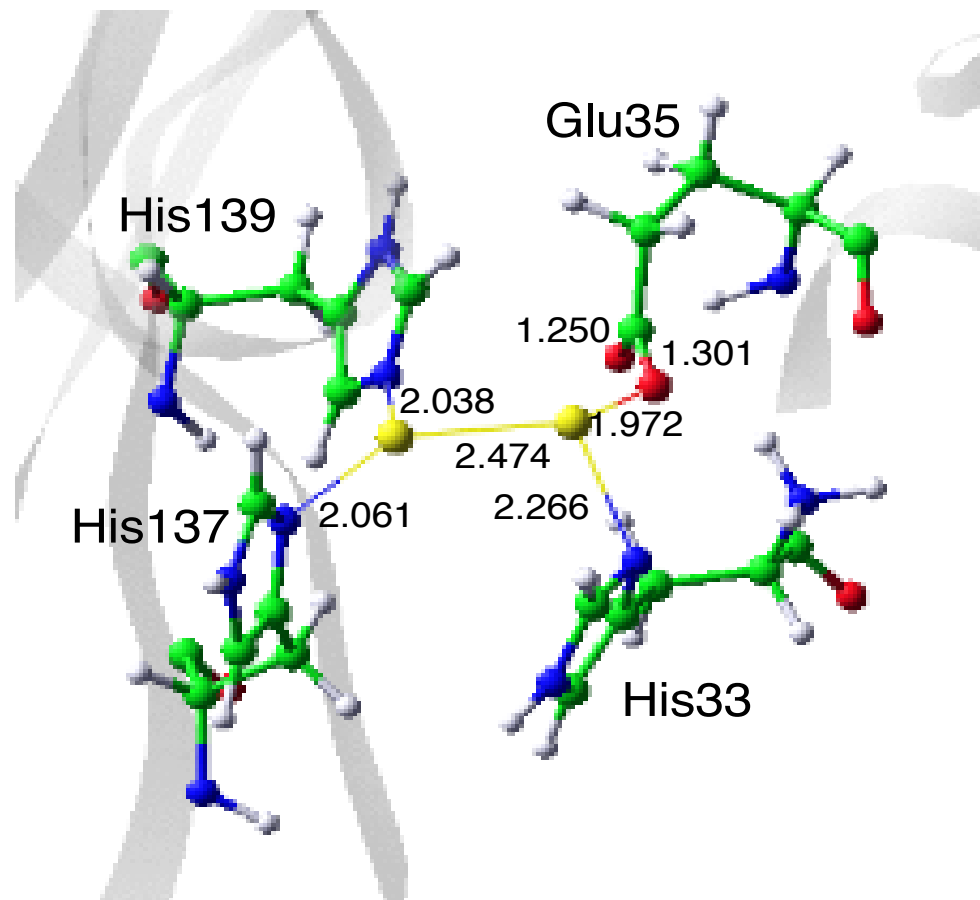


膜結合型メタンモノオキシゲナーゼの銅単核活性サイトにおけるメタンの水酸化

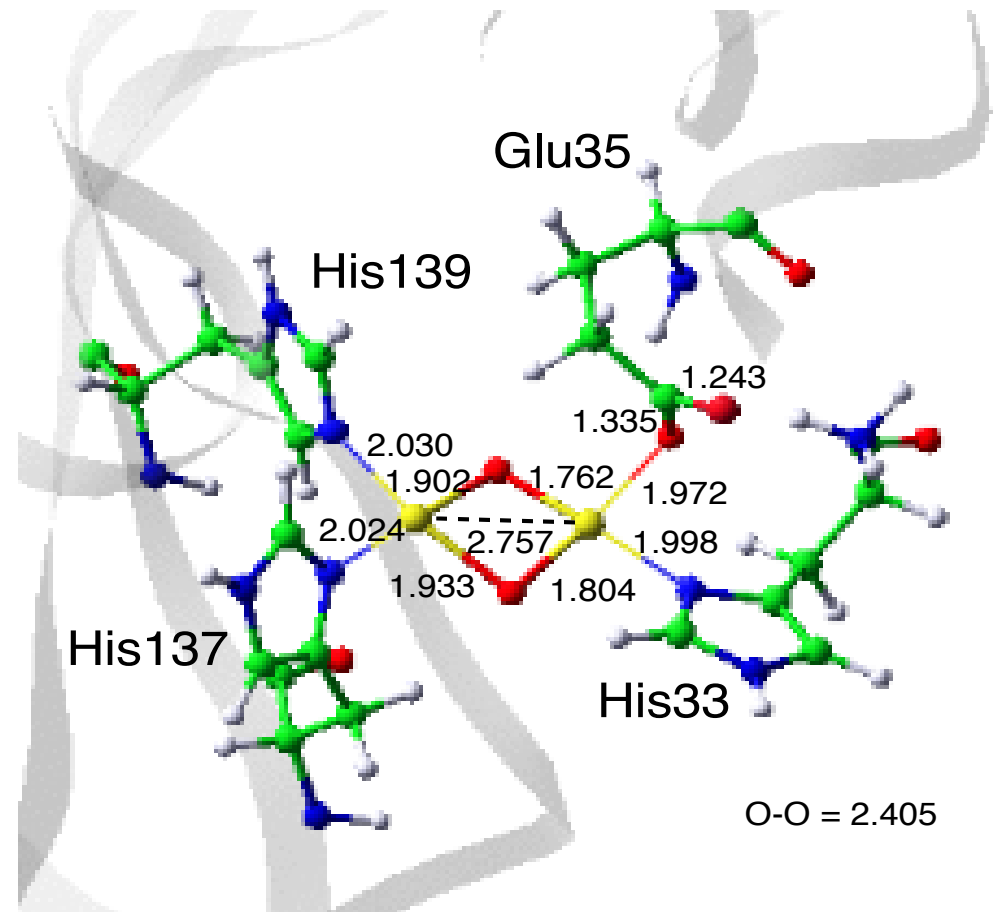


量子化学計算から求めた膜結合型メタンモノオキシゲナーゼの銅二核活性サイトの構造

Resting state

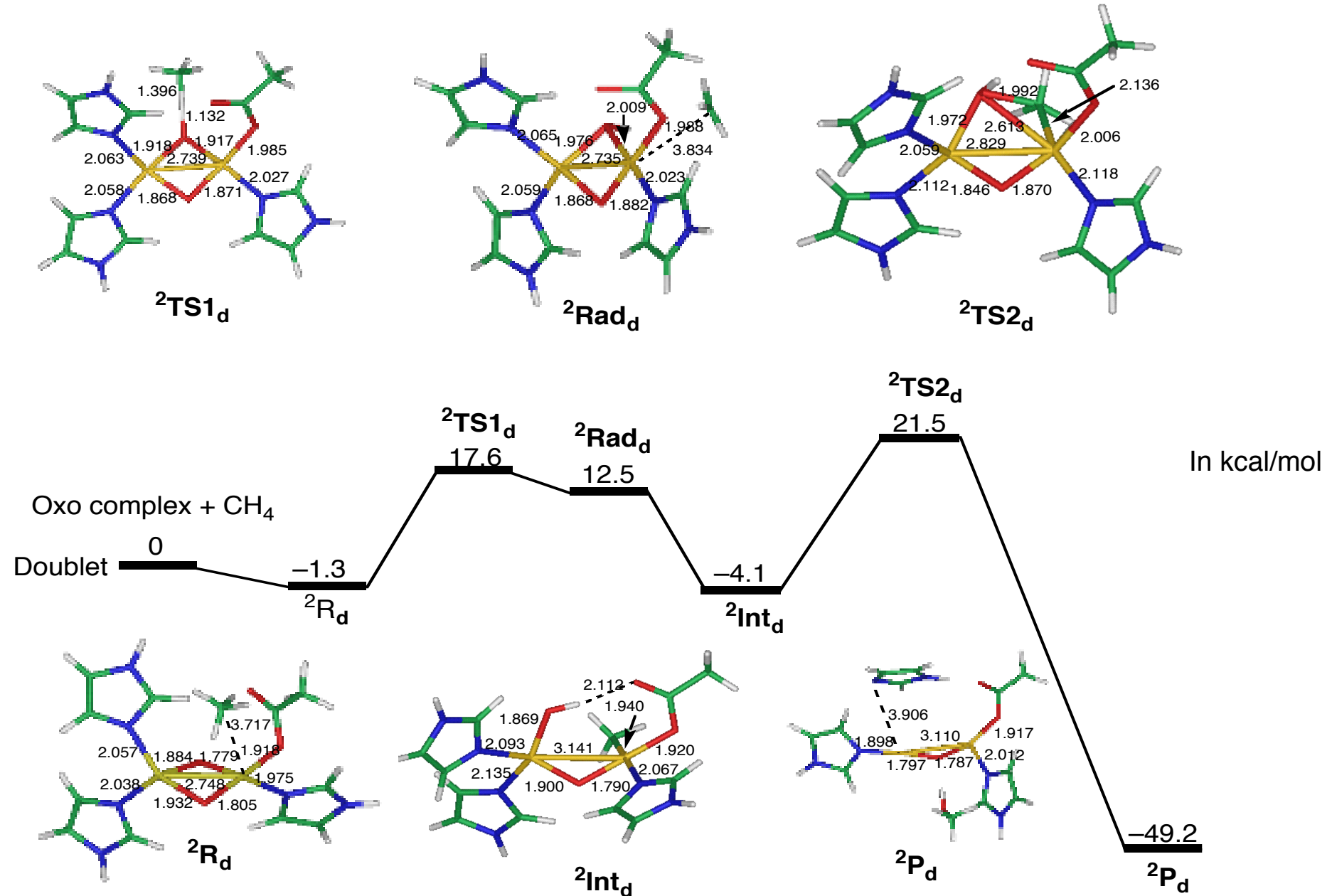


Bis(μ -oxo) $\text{Cu}^{\text{II}}\text{Cu}^{\text{III}}$ species



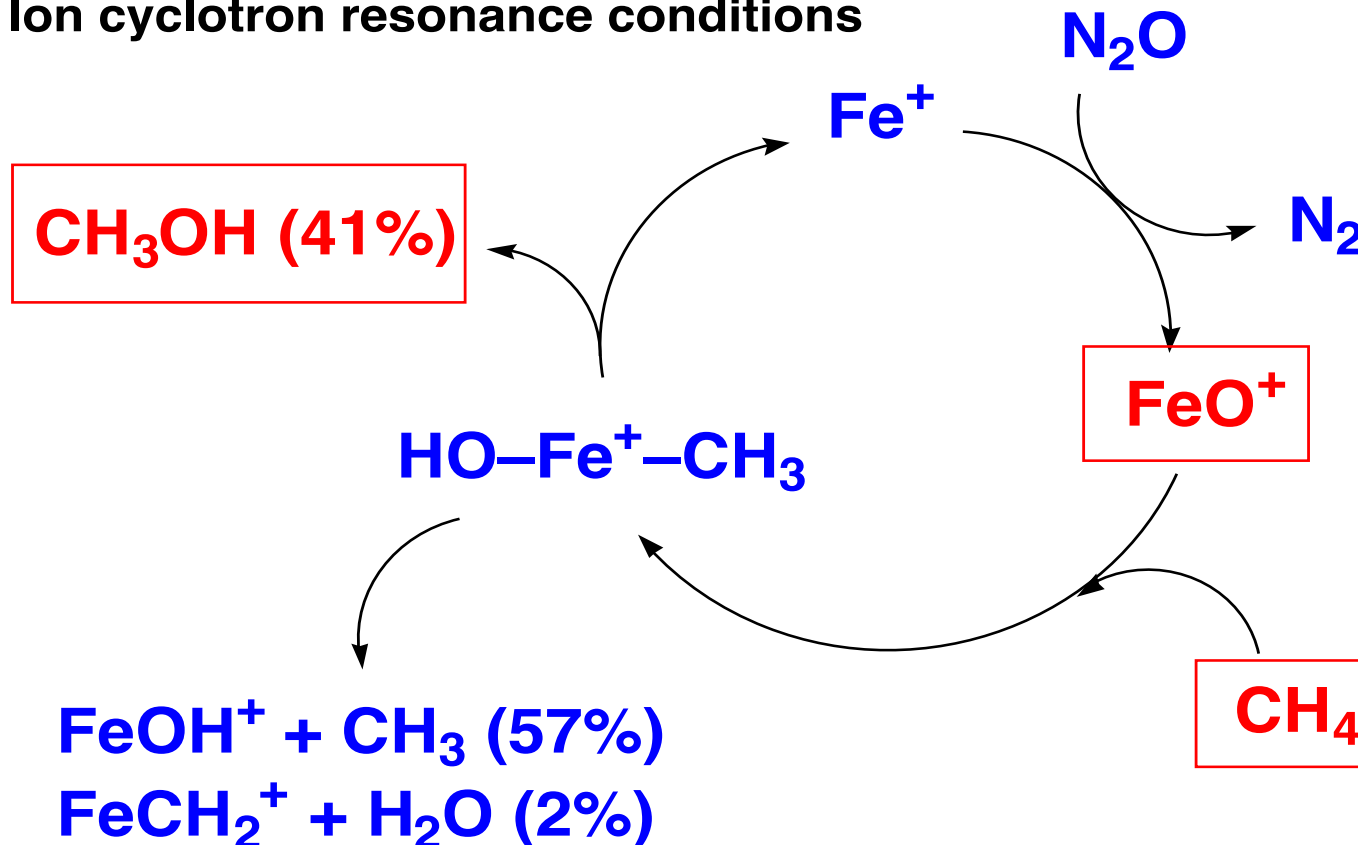
K. Yoshizawa, Y. Shiota, submitted.

膜結合型メタンモノオキシゲナーゼの銅二核活性サイトにおけるメタンの水酸化



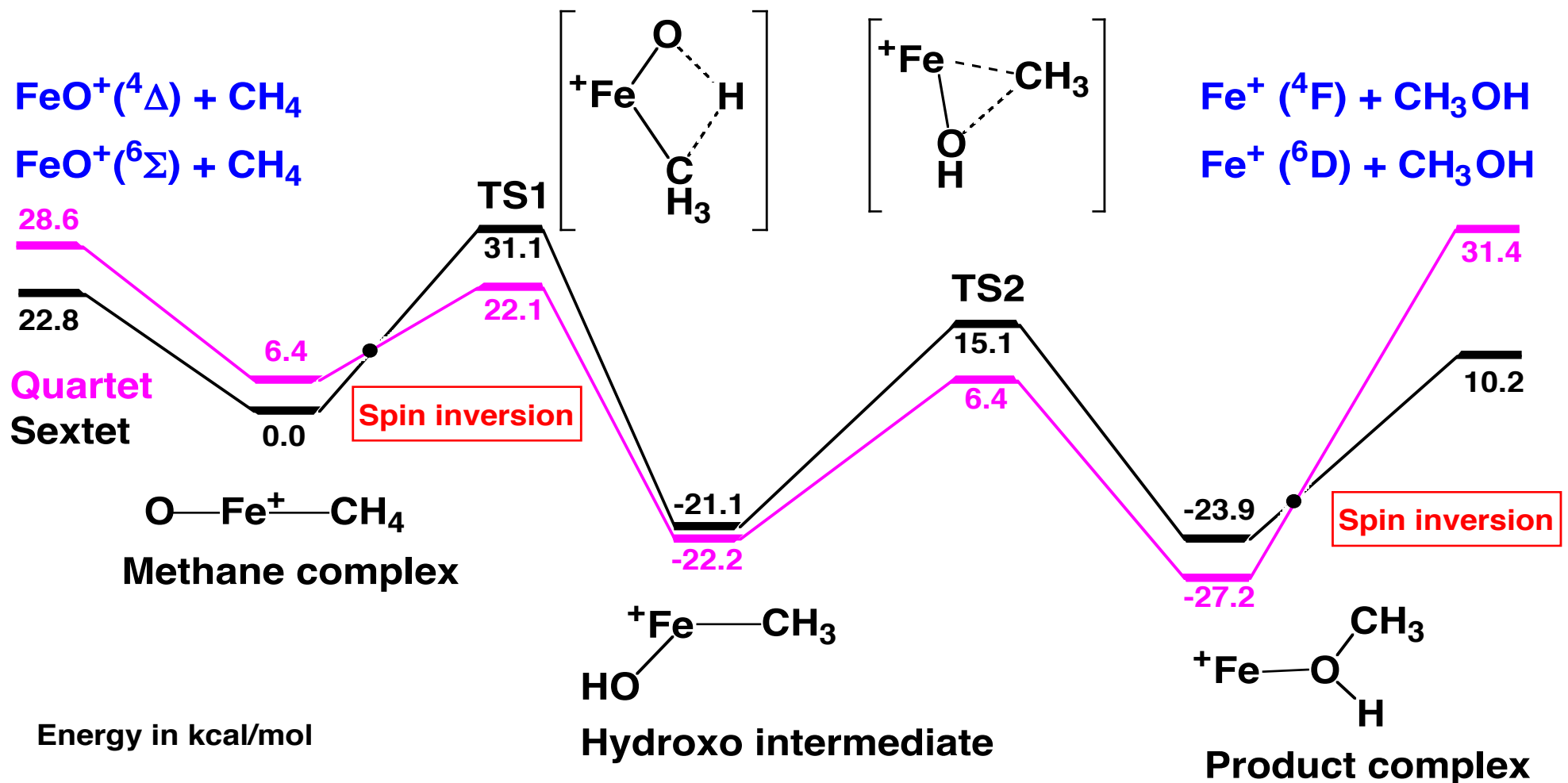
Methane hydroxylation by the bare iron-oxo complex

Helmut Schwarz's group
Ion cyclotron resonance conditions



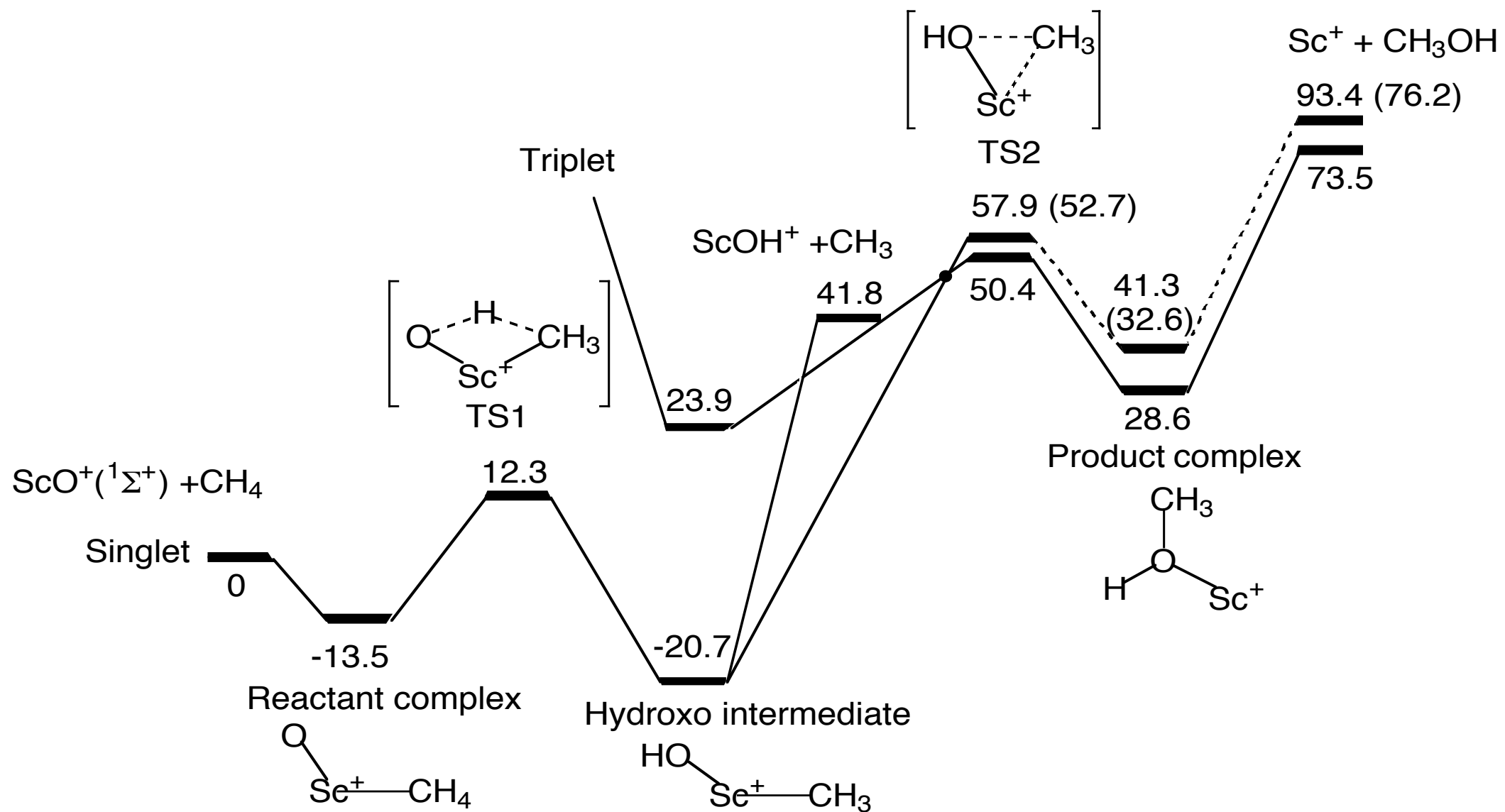
Chem. Eur. J., **3**, 1160 (1997); *J. Am. Chem. Soc.*, **120**, 564 (1998); *Organometallics*, **17**, 2825 (1998); *J. Biol. Inorg. Chem.*, **3**, 318 (1998); *J. Am. Chem. Soc.*, **121**, 147 (1999); *J. Am. Chem. Soc.*, **121**, 5266 (1999); *J. Chem. Phys.*, **111**, 538 (1999); *J. Phys. Chem. A*, **104**, 2552 (2000); *J. Phys. Chem. A*, **104**, 9347 (2000); *J. Am. Chem. Soc.*, **122**, 12317 (2000); *Organometallics*, **20**, 1397 (2001); *J. Phys. Chem. A*, **106**, 621 (2002); *Coord. Chem. Rev.*, **226**, 251 (2002); *J. Chem. Phys.*, **118**, 5872 (2003).

Energy diagram for the conversion of methane to methanol by FeO^+



K. Yoshizawa, Y. Shiota, and T. Yamabe, *Chem. Eur. J.* **3**, 1160 (1997); *J. Am. Chem. Soc.* **120**, 564 (1998).

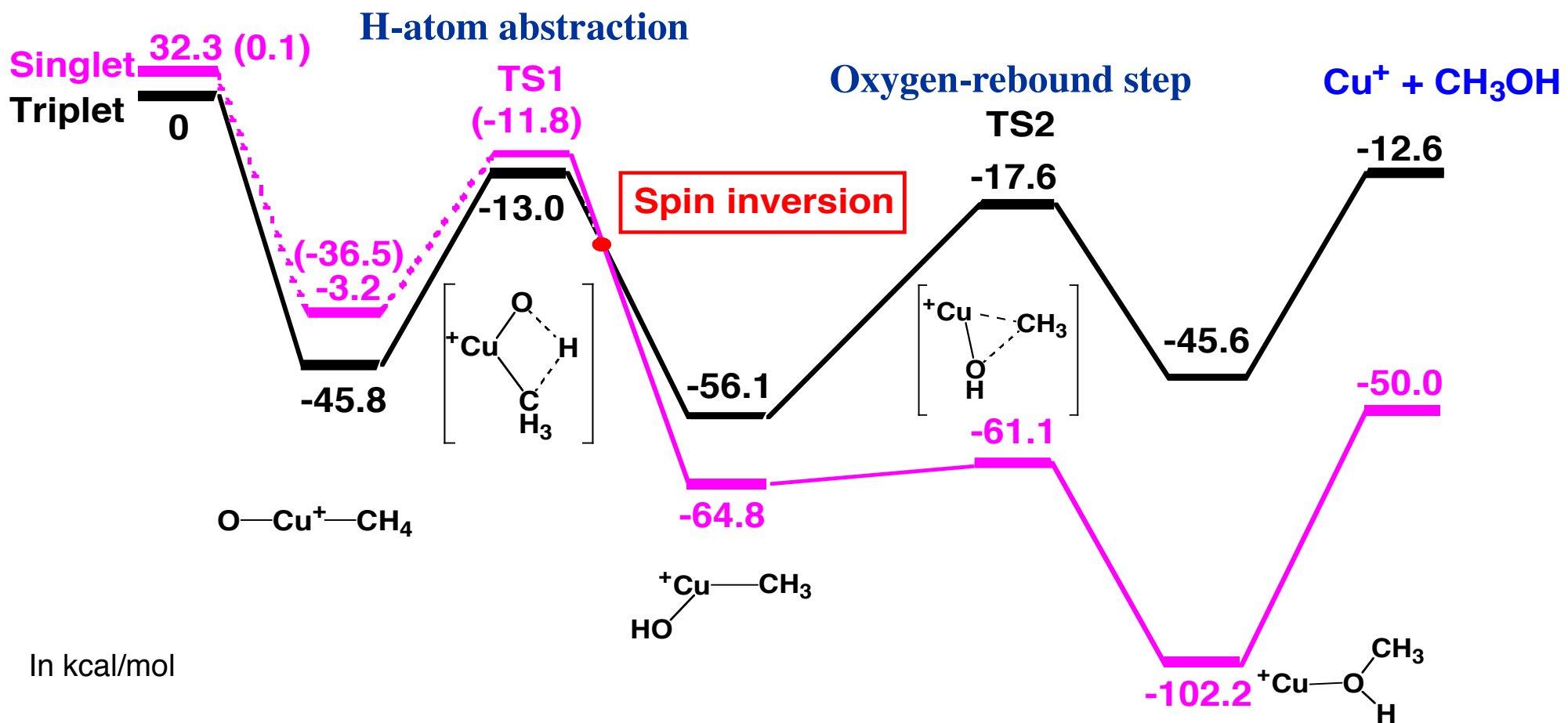
Energy diagram for the conversion of methane to methanol by ScO^+



Energy diagrams for the conversion of methane to methanol by CuO⁺

CuO^{+(3Π)} + CH₄

Y. Shiota and K. Yoshizawa, *J. Am. Chem. Soc.* **122**, 12317 (2000).



The dotted lines in the region of CuO⁺, CuO^{+(CH₄)}, and TS1 indicate the use of the spin-unrestricted method. Values in parentheses are energies in the open-shell singlet.

Reactivity to methane of bare transition-metal oxide ions

MO ⁺	State	BDE (kcal/mol)	Atomic spin density		ΔE (kcal/mol)
			M	O	
ScO ⁺⁺	¹ Σ^+	156.1	0.00	0.00	73.5
TiO ⁺	² Δ	155.1	1.14	-0.14	72.4
VO ⁺	³ Σ^-	137.2	2.33	-0.33	54.5
CrO ⁺	⁴ Σ^-	81.3	3.65	-0.65	-1.3
MnO ⁺	⁵ Σ^+	56.4	4.75	-0.75	-26.2
FeO ⁺	⁶ Σ^+	75.2	3.86	1.14	-12.6
	⁴ Δ	69.4	3.62	-0.63	-
CoO ⁺	⁵ Δ	73.3	2.68	1.32	-25.6
	³ Π	49.9	2.61	-0.61	-
NiO ⁺	⁴ Σ^-	69.3	1.53	1.47	-26.5
	² Σ^-	57.9	-0.23	1.23	-
CuO ⁺	³ Π	37.6	0.47	1.47	-50.0
	¹ Σ^+		0.00	0.00	-

Y. Shiota and K. Yoshizawa, *J. Am. Chem. Soc.* **122**, 12317 (2000).

Reaction efficiencies ϕ (%) and product branching ratios (%) for the reactions of methane with MO^+

MO^+	ϕ	$\text{MOH}^+ + \text{CH}_3$	$\text{MCH}_2^+ + \text{H}_2\text{O}$	$\text{M}^+ + \text{CH}_3\text{OH}$
MnO^+	40	100	–	< 1
FeO^+	20	57	2	41
CoO^+	0.5	–	–	100
NiO^+	20	–	–	100

D. Schröder and H. Schwarz, *Angew. Chem. Int. Ed. Engl.* **34**, 1973 (1995).